Verkehrsuntersuchung

zum Bebauungsplan Nr. 32 "Vennhof" in Roetgen

Aktualisierung im Mai 2020



Inhaltsverzeichnis

| 1. | Aufgabenstellung | 3 |
|-----|--|----|
| 2. | Verkehrsbelastungen im Umfeld des geplanten Vorhabens – Istzustand | 5 |
| 3. | Prognose-Nullfall | 6 |
| 3.1 | Allgemeine Belastungsveränderung | 6 |
| 3.2 | Leistungsfähigkeitsbetrachtung – Prognose-Nullfall | 7 |
| 4. | Prognose-Planfall | 8 |
| 4.1 | Ermittlung des zukünftigen Verkehrsaufkommens | 8 |
| 4.2 | Ermittlung der zukünftigen Verkehrsverflechtungen | 13 |
| 4.3 | Überlagerung des Prognose-Nullfalls mit den Verkehren des Bauvorhabens | 14 |
| 4.4 | Leistungsfähigkeitsbetrachtung – Prognose-Planfall | 15 |
| 5. | Fazit | 17 |
| 6. | Anhang | 18 |

200529_rve_bericht_vu_roetgen_vennhof-erweiterung_v8.docx

Bericht

1. Aufgabenstellung

Die ISR – Innovative Stadt und Raumplanung GmbH, Haan ist im Auftrag des Bauherren Plum mit der Aufstellung des Bebauungsplanes Nr. 32 "Vennhof" in der Gemeinde Roetgen zur Erweiterung des bestehenden Vennhofs betraut. Hierzu wurde im Jahr 2019 – auf Grundlage des damaligen Entwurfes – eine entsprechende Verkehrsuntersuchung in unserem Hause durchgeführt.

Da seit der Durchführung der Verkehrsuntersuchung im Jahr 2019 der Entwurf für die Erweiterung des Vennhofs leicht überarbeitet wurde und verschiedene Entwicklungen in Bezug auf die Gemeinde Roetgen (u.a. Bebauungsplan Nr. 34 "Faulenbruchstraße Süd") ergeben haben, soll die Verkehrsuntersuchung aus dem Jahr 2019 aktualisiert werden.

Es soll in der hier vorliegenden Verkehrsuntersuchung dargestellt werden, dass auch bei der aktuell geplanten Erweiterung des Vennhofs die Anbindung des bestehenden Parkplatzes des Vennhofs an die B 258, die neue Tiefgaragenausfahrt an die B 258 und der benachbarte Knoten B 258 / Faulenbruchstraße die auftretenden Verkehre leistungsgerecht und sicher abwickeln können.

Die Untersuchung ist unter Berücksichtigung der im Auftrag der Gemeinde Roetgen erstellten Untersuchungen, u. a. die "Machbarkeitsstudie zur baulichen Ausgestaltung des Knotenpunktes B 258 / Rosentalstraße in Roetgen" sowie einer weiteren für die Gemeinde erstellten Verkehrsuntersuchung zur B 258² durchzuführen.

Bericht 11/17/

_

Machbarkeitsstudie zur baulichen Ausgestaltung des Knotenpunktes B 258 / Rosentalstraße in Roetgen, durchgeführt von der Ingenieurgruppe IVV GmbH & Co. KG im Auftrage der Gemeinde Roetgen, Aachen, 2012

Gesamtverkehrskonzept für den innerörtlichen Streckenabschnitt der B 258 in Roetgen, durchgeführt vom Büro Stadtverkehr im Auftrage der Gemeinde Roetgen, Hilden, 2017 (Verkehrserhebungen 2016)



Abbildung 1: Lage des Vennhofs in der Gemeinde Roetgen

Die Lage des Vennhofs in der Gemeinde Roetgen kann der Abbildung 1 entnommen werden. Der bestehende Vennhof (u.a. Bäckerei, Blumenladen, Parfümerie, Spielhalle, Wohnen, Büro und Arztpraxen) ist sowohl über die B 258 also auch die Faulenbruchstraße angebunden. Der nächstgelegenen Knotenpunkte ist der Knotenpunkt B 258 / Faulenbruchstraße, für den die Leistungsfähigkeit im Rahmen dieser Untersuchung betrachtet wird. Des Weiteren wird die Leistungsfähigkeit für die bestehende Anbindung B 258 / Zufahrt Parkplatz Vennhof und die geplante Anbindung B 258 / Tiefgaragenausfahrt betrachtet. Die Leistungsfähigkeit der Knotenpunkte / Anbindungen an der B 258 wird überprüft, um sicher zu stellen, dass durch die Erweiterung des Vennhofs keine Beeinträchtigungen für die B 258 zu erwarten sind.

Bericht TV

2. Verkehrsbelastungen im Umfeld des geplanten Vorhabens – Istzustand

Um die heutige Verkehrssituation zu erfassen, wurde entsprechend den EVE 2012³ am 09.07.2019 eine Verkehrszählung in den beiden Stundengruppen 6:00 bis 10:00 Uhr und 15:00 bis 19:00 Uhr durchgeführt, bei der die abbiegescharfen Knotenströme an der bestehenden Anbindung B 258 / Zufahrt Parkplatz (Vennhof) ermittelt wurden. Die Fahrzeuge wurden nach Fahrzeugkategorien getrennt in 15-Minuten-Intervallen erfasst. Anschließend wurden die Daten ausgewertet, geprüft und grafisch aufbereitet. Die Ergebnisse der Erhebung der Vormittags- und Nachmittagsstundengruppe sind im Anhang 1 zusammengestellt.

Des Weiteren wurden die Abbiegebelastungen aus dem Jahr 2016 für den Knotenpunkt B 258 / Faulenbruchstraße aus einer für die Gemeinde Roetgen erstellten Verkehrsuntersuchung zur B 258 übernommen und anhand der aktuell erhobenen Belastungen für die B 258 angepasst. Die für die hier durchgeführte Verkehrsuntersuchung verwendeten Knotenstrombelastungen der maßgebenden Spitzenstunde am Vormittag und am Nachmittag sind für die Anbindung B 258 / Zufahrt Parkplatz (Vennhof) und den Knotenpunkt B 258 / Faulenbruchstraße im Anhang 1 dargestellt.

Bericht 11/17/

-

^{3 &}quot;Empfehlungen für Verkehrserhebungen"; Heft FGSV 125; Hrsg.: Forschungsgesellschaft für das Straßen- und Verkehrswesen (FGSV); Ausgabe 2012 (EVE – 2012)

3. Prognose-Nullfall

3.1 Allgemeine Belastungsveränderung

Für die allgemeine Verkehrsentwicklung in der Gemeinde Roetgen und im Umfeld werden zum einen die Verkehrsveränderungen infolge der Siedlungsentwicklung (u.a. B-Plan Nr. 34 "Faulenbruchstraße Süd") und zum anderen die Entwicklungen auf der B 258 einbezogen.

Die in der näheren Zukunft zu erwartende allgemeine Verkehrsentwicklung der Gemeinde Roetgen wird im Wesentlichen durch die Einwohner- und Beschäftigtenentwicklung definiert. Aus dem Kommunalprofil von IT.NRW (Stand 24.04.2019) für die Gemeinde Roetgen geht hervor, dass die Bevölkerung bis ins Jahr 2025 um ca. 3,8 % steigt⁴.

Um bei den Leistungsfähigkeitsbetrachtungen auf der "sicheren Seite" zu liegen, wurde eine allgemeine Verkehrszunahme von ca. 5 % parallel zu dem verwendeten Ansatz aus der Untersuchung "Gesamtverkehrskonzept für den innerörtlichen Streckenabschnitt der B 258 in Roetgen" berücksichtigt⁵. Dieser Zuwachs setzt auf den im Jahr 2019 durchgeführte Verkehrserhebung auf und berücksichtigt somit die aktuelle Bevölkerungsentwicklung in Roetgen bis zum Jahre 2019 sowie die aktuellen Verkehrszunahmen auf der B 258 bis zum Jahre 2019.

Des Weiteren wird die spezifische Entwicklung des Bebauungsplans Nr. 34 "Faulenbruchstraße Süd" und die damit zusätzlich ausgelöste Verkehrsbelastung berücksichtigt. Als Grundlage hierzu konnte auf die entsprechende Untersuchung zum B-Plan 34⁶ zurückgegriffen werden. Mit Hilfe der in der Schalltechnischen Untersuchung ausgewiesenen Frequentierung der Planstraße von 23 Pkw-Bewegungen pro Stunde tags und von 9 Pkw-Bewegungen pro Stunde nachts, wurde das Verkehrsaufkommen für den Tag von 440 Kfz / Tag⁷ (als Summe aus Quellund Zielverkehr) ermittelt. Voraussichtlich werden ca. 15 - 20 % der ausgelösten Kfz-Verkehre in Richtung Norden (Ortskern Roetgen) und ca. 80 - 85 % der Kfz-Verkehre in Richtung Süden zur B 258 verlaufen.

Bericht 11/17/

_

⁴ Bevölkerungsentwicklung von 8.238 (2014) bis auf 8.553 (2025)

Damit wird auch angenommen, dass die Durchgangsverkehre im Zuge der B 258 in gleicher Weise ansteigen. Im Vergleich zur Verkehrsentwicklung der letzten Jahre, die sich aus den Daten der Straßenverkehrszählung des Bundes (SVZ) für die B 258 ergibt, liegt dieser Ansatz auf der sicheren Seite.

Schalltechnische Untersuchung zum Bebauungsplanverfahren Nr. 34 "Faulenbruchstraße" der Gemeinde Roetgen; Hrsg.: Peutz Consult GmbH; Stand: 25.11.2019

Zusätzliche Verkehrsbelastungen in der Vormittagsspitzenstunde von ca. 29 Kfz/h und in der Nachmittagsspitzenstunde von ca. 34 Kfz/h. Zur Ableitung der Spitzenstundenwerte wurden Tagesganglinien aus dem Papier "Hinweise zur Schätzung des Verkehrsaufkommens von Gebietstypen; Hrsg.: FGSV; 2006; verwendet.

3.2 Leistungsfähigkeitsbetrachtung – Prognose-Nullfall

Zur Überprüfung der Leistungsfähigkeit der bestehenden Knotenpunkte

- B 258 / Faulenbruchstraße
- B 258 / Zufahrt Parkplatz (Vennhof)

wurde aus den bei der Zählung erfassten Verkehrsmengen die maßgebende Spitzenstunde am Vormittag (07:00 bis 08:00 Uhr) und Nachmittag (16:00 bis 17:00 Uhr) ermittelt und mit der allgemeinen Verkehrsentwicklung überlagert (vgl. Anhang 2).

Die Leistungsfähigkeitsnachweise für die unsignalisierten Knotenpunkte wurde mit den von Prof. Schnabel vertriebenen Excel-Tools⁸, die die Vorgaben des HBS 2015 umsetzten, durchgeführt. Es ermöglicht die Beurteilung der Leistungsfähigkeit und des Verkehrsflusses über die mittlere Wartezeit. Für die Berechnung werden die Zeitlücken gem. dem HBS 2015 gewählt. Die Beurteilung der Qualitätsstufen (QSV) erfolgt über die Wartezeitklassen gem. der Tabellen S5-1 bzw. L5-1 des HBS 2015.

Der Leistungsfähigkeitsnachweis für den Knoten B 258 / Faulenbruchstraße mit den prognostizierten Verkehrsmengen für den Prognose-Nullfall zeigt, dass an diesem zukünftig in der nachmittäglichen Spitzenstunde Leistungsfähigkeitsdefizite zu erwarten sind. Dies betrifft die Verkehre aus der Faulenbruchstraße und der Pilgerbornstraße. Für die bei den prognostizierten Verkehrsmengen in der Nachmittagsspitzenstunde und dem vorhandenen Knotenausbau eine Qualitätsstufe (QSV) E ermittelt wird. Die Verkehre im Zuge der B 258 weisen eine Qualitätsstufe (QSV) A auf. Damit zeigt sich, dass für die B 258 keine Behinderungen auftreten.

Für die Anbindung B 258 / Zufahrt Parkplatz (Vennhof) zeigen die Leistungsfähigkeitsnachweise für die beiden Spitzenstunden, dass dieser mit den prognostizierten Verkehrsmengen in die Qualitätsstufe (QSV) D und besser eingeordnet wird. Die Nachweise zeigen, dass die Anbindung auch bei den zukünftig zu erwartenden Verkehrsmengen im Prognose-Nullfall mit dem vorhandenen Knotenausbau in ausreichend leistungsfähiger Form betrieben werden kann. Die Verkehre im Zuge der B 258 werden an dieser Anbindung nicht behindert.

Bericht 11/17/

_

HBS-Rechenprogramm – Knotenpunkte ohne Lichtsignalanlage; Hrsg.: Arbeitsgruppe Verkehrstechnik, Prof. Dr.-Ing. habil. W. Schnabel, Dresden (Stand: Mai 2016).

4. Prognose-Planfall

4.1 Ermittlung des zukünftigen Verkehrsaufkommens

Die durch die Erweiterung des Vennhofs in der Gemeinde Roetgen ausgelöste zusätzliche Verkehrsnachfrage wird unter Zuhilfenahme von Vergleichsdaten und unter Einbeziehung:

- von Vorgaben des Auftraggebers
- Kenndaten für verschiedene Mischgebiete⁹ sowie
- der "Hinwiese zur Schätzung des Verkehrsaufkommens von Gebietstypen" der FGSV¹⁰

eingeschätzt.

Die Verkehrsnachfrageabschätzung für die Zusatzverkehre wurde auf der Grundlage des Bebauungsplanentwurfes, anhand der geplanten relevanten Strukturgrößen:

- Wohneinheiten (WE)
- Bruttogeschossfläche (BGF)

und unter Ansatz der jeweils spezifischen verkehrlichen Kenndaten:

- Wege- / Fahrtenvolumen am Tag
- Anwesenheitsgrad
- MIV-Nutzung / Pkw-Anteil
- Pkw-Besetzungsgrad und
- Originäraufkommen / Verbundeffekt¹¹
- Mitnahmeeffekt¹²

Bericht 177

Hier seien neben den Erfahrungen aus der Bearbeitung diverser vergleichbarer Projekte beispielsweise auch das Verfahren nach Bosserhoff "Abschätzung des Verkehrsaufkommens durch Vorhaben der Bauleitplanung (VerBau); Version 2017" genannt.

[&]quot;Hinweise zur Schätzung des Verkehrsaufkommens von Gebietstypen"; Heft FGSV 147; Hrsg.: Forschungsgesellschaft für das Straßen- und Verkehrswesen (FGSV); Ausgabe 2006.

Mit dem Begriff "Verbundeffekt" wird das Aufsuchen mehrere Nutzungen an einem Standort durch dieselbe Person bezeichnet.

Der Begriff "Mitnahmeeffekt" bezeichnet das Phänomen, dass Nutzungen an einem Standort sozusagen "auf dem Weg" aufgesucht werden und somit keine zusätzlichen Wege verursacht werden.

und in der Differenzierung für die jeweils maßgebenden Nutzergruppen:

- Bewohner / Beschäftigte
- Besucher / Kunden und
- Liefer- / Wirtschaftsverkehr

vorgenommen.

Die hieraus abgeleitete zusätzliche Verkehrsnachfrage durch die Erweiterung des Vennhofs ist in Tabelle 1 zusammengestellt.

In der Differenzierung für die vier o. g. Nutzergruppen ergibt sich das werktägliche Fahrtenvolumen zu¹³:

Nutzergruppe Bewohner:

- Bewohner (anwesend): ca. 160
- Aufkommen in Wegen/Person und Tag: 3,7
- MIV-Anteil: 75 %
- Pkw-Besetzungsgrad in Pers. pro Pkw: 1,24
- Pkw-Fahrtenvolumen der Bewohner:
 160 * 3,7 * 0,75 / 1,24 = ca. 358 Pkw/Tag (als Summe aus Quell- und Zielverkehr)

Nutzergruppe Beschäftigte:

- Beschäftigte (anwesend): 43
- Aufkommen in Wegen/Person und Tag: 2,2
- MIV-Anteil: 85 %
- Pkw-Besetzungsgrad in Pers. pro Pkw: 1,10
- Fahrtenvolumen der Beschäftigten:
 74 Pkw/Tag (als Summe aus Quell- und Zielverkehr)

Bericht TV

Für die Berechnung im Detail sei auf die Darstellung in Tabelle 1 verwiesen.

Nutzergruppe Besucher:

- Besucher: 18
- Aufkommen in Wegen/Person und Tag: 2,0
- MIV-Anteil: 95 %
- Besetzungsgrad in Pers. pro Pkw: 1,16
- Pkw-Fahrtenvolumen der Besucher:28 Pkw/Tag (als Summe aus Quell- und Zielverkehr)

Nutzergruppe Kunden:

- Besucher: ca. 950
- Aufkommen in Wegen/Person und Tag: 2,0
- MIV-Anteil: 80 %
- Besetzungsgrad in Pers. pro Pkw: 1,2 bzw. 1,3
- Verbundeffekt: je nach Nutzung 0 bzw. 10 %
- Mitnahmeeffekt: je nach Nutzung 0 bzw. 10 %
- Pkw-Fahrtenvolumen der Kunden:
 1.036 Pkw/Tag (als Summe aus Quell- und Zielverkehr)

Wirtschaftsverkehr (Wohnen):

- Liefervorgänge: 9
- Aufkommen in Wegen/Liefervorgänge und Tag: 2,0
- Verbundeffekt: 20 %
- Kfz-Fahrtenvolumen des Wirtschaftsverkehr:
 14 Kfz/Tag (als Summe aus Quell- und Zielverkehr)

Bericht ÎTV

Wirtschaftsverkehr (Gewerbe / Gastronomie / Einzelhandel):

Liefervorgänge: 22

Aufkommen in Wegen/Liefervorgänge und Tag: 2,0

Verbundeffekt: 10 %

Kfz-Fahrtenvolumen des Wirtschaftsverkehr:
 40 Kfz/Tag (als Summe aus Quell- und Zielverkehr)

Die zusätzlichen Verkehre, die durch die Erweiterung des Vennhofs für die B 258 bzw. die Faulenbruchstraße ausgelöst werden, betragen somit insgesamt ca. 1.550 Kfz/Tag (als Summe aus Quell- und Zielverkehr) bzw. ca. 775 Kfz/Tag jeweils im Quell- und Zielverkehr.

Bericht TV



Verkehrsuntersuchung Bebauungsplan Nr. 32 "Vennhof" der Gemeinde Roetgen

Verkehrsmengenabschätzung Wohnen / Gewerbe

Prognose (P1)

| Nutzungsart | Wohnen | Büro / Arztpraxen (publikumsintensive Nutzung) | Büro / Arztpraxen (publikumsarmen Nutzung) | Gastronomie | Einzelhandel | Gesamt |
|---|-------------------|--|--|-------------|--------------|--------|
| Nettobaulandfläche [m²] | | | | | | |
| GFZ | | | | | | |
| Bruttogeschossfläche (BGF) [m²] | | 300 | 400 | 300 | 1.200 | |
| Anteil Wohnfläche an BGF | | | 100 | | 200 | |
| | | | | | | |
| Wohn-/Nutzfläche (WF/NF) [m²] | | | | | | |
| Wohneinheiten (WE) [-] | 75 | | | | | |
| Bezugsgröße | WE | BGF | BGF | BGF | BGF | |
| Auslastung | 100% | 100% | 100% | 100% | 100% | |
| Bezugseinheiten | 75 | 300 | 400 | 300 | 1.200 | |
| Nutzergruppe: Bewohner / Beschäftigte | | | | | | |
| Beschäftigte je 100 m² Bezugseinheiten | | 3,0 | 3,0 | 2,0 | 2,0 | |
| Wohnfläche / Bewohner | | 0,0 | 0,0 | 2,0 | | |
| Einwohner je Wohneinheit | 2,5 | | | | | |
| Bewohner / Beschäftigte ges. | 188 | 9 | 12 | 6 | 24 | 239 |
| Anwesenheitsgrad / Anteil Wohnungsbez. Wege | 85% | 85% | 85% | 85% | 85% | 200 |
| Bew. / Beschäftigte (anwesend) | 160 | 8 | 10 | 5 | 20 | 203 |
| Verkehrsaufkommen Wege / Tag | 3,7 | 2,2 | 2,2 | 2,2 | 2,2 | 200 |
| Wege der Bewohner / Beschäftigten pro Tag | 5,7 591 | 17 | 22 | 11 | 45 | 687 |
| Pkw-Anteil | 75% | 85% | 85% | 85% | 85% | 007 |
| Pkw-Wege pro Tag | 443 | 14 | 19 | 10 | 38 | 525 |
| Pkw-Besetzungsgrad | 1,24 | 1,1 | 1,1 | 1,1 | 1,1 | 323 |
| Kfz-Fahrten pro Tag | 358 | 13 | 17 | 9 | 35 | 432 |
| and the first rag | | | | | | |
| Nutzergruppe: Besucher / Kunden | | | | | | |
| Besucher/ Kunden je 100 m² Bezugseinheiten | | 30 | 3 | 40 | 60 | |
| Kunden pro Tag | | | | | | 0 |
| Anwesenheitsgrad / Originäranteil | | 100% | 100% | 100% | 100% | |
| Anwesende Kunden pro Tag | | 90 | 12 | 120 | 720 | 942 |
| Verkehrsaufkommen Wege / Tag | | 2,0 | 2,0 | 2,0 | 2,0 | |
| Wege der Besucher je Einwohnerweg | 0,05 | | | | | |
| Wege der Besucher / Kunden pro Tag | 35 | 180 | 24 | 240 | 1.440 | 1.919 |
| Pkw-Anteil | 95% | 80% | 80% | 80% | 80% | |
| Pkw-Wege der Besucher / Kunden pro Tag | 33 | 144 | 19 | 192 | 1.152 | 1.540 |
| Pkw-Besetzungsgrad | 1,16 | 1,2 | 1,2 | 1,3 | 1,2 | |
| Verbundeffekt | 100% | 100% | 100% | 100% | 90% | |
| (Neubau mit Bestand) | 100% | 100% | 100% | 90% | 90% | |
| Mitnahmeeffekt Kfz-Fahrten pro Tag | 100% 28 | 100% 120 | 100% | 132 | 768 | 1.064 |
| az ramen pro rag | 20 | 120 | | 102 | 7.00 | 1.001 |
| Nutzergruppe: Wirtschaftsverkehr | | | | | | |
| Liefervorgänge je 100 Einwohner bzw. m² | 5,0 | 1,0 | 1,0 | 0,5 | 1,0 | |
| Liefervorgänge pro Tag | 9 | 3 | 4 | 2 | 12 | |
| Liefervorgänge pro Beschäftigten | | | | | | |
| Verkehrsaufkommen Wege/Liefervorg. | 2,0 | 2,0 | 2,0 | 2,0 | 2,0 | |
| Verbundeffekt | 80% | 90% | 90% | 90% | 90% | |
| (Neubau mit Bestand) | | | | | | |
| Fahrten des Wirtschaftsverkehrs pro Tag | 14 | 6 | 8 | 4 | 22 | 54 |
| Summe Kfz-Fahrten pro Tag | 400 | 139 | 41 | 145 | 825 | 1.550 |

Tabelle 1: Voraussichtliches Verkehrsaufkommen der geplanten Erweiterung des Vennhofs in der Gemeinde Roetgen

Bericht

4.2 Ermittlung der zukünftigen Verkehrsverflechtungen

Die räumliche Verkehrsverflechtung der auf die geplante Erweiterung des Vennhofs bezogenen zusätzlichen Verkehre in Höhe von ungefähr 1.550 Kfz / Tag (als Summe aus Quell- und Zielverkehr) wurde anhand der Lage im Straßennetz und in Anlehnung an das von den Bewohnern / Beschäftigten / Kunden zu erwartende Verkehrsverhalten ermittelt. In Bild 2 und Bild 3 ist jeweils die zugrundeliegende Verkehrsverteilung (im Quell- und Zielverkehr) für die Bewohner / Beschäftigte und Besucher / Kunden / Wirtschaftsverkehr dargestellt.

Für eine Art – Worst-Case-Betrachtung – werden alle Verkehre zur / von der B 258 geführt. Verkehre mit Bezug zum Ortskern Roetgen werden somit auch alle über die B 258 und nicht auch über die Faulenbruchstraße abgewickelt¹⁴.



Abbildung 2: Verteilung des Kfz-Verkehrsaufkommens der Bewohner / Beschäftigten

Kartengrundlage: openstreetmap.org

Bericht 11/17/

Dies wird sich in der Realität nicht vollständig so einstellen.



Abbildung 3: Verteilung des Kfz-Verkehrsaufkommens der Besucher / Kunden / Wirtschaftsverkehr

Kartengrundlage: openstreetmap.org

4.3 Überlagerung des Prognose-Nullfalls mit den Verkehren des Bauvorhabens

Um die durch die Erweiterung des Vennhofs zusätzlich entstehenden Verkehre mit den allgemeinen Verkehren (vgl. Kapitel 2) und der allgemeinen Verkehrsentwicklung (vgl. Kapitel 3.1) zu überlagern und die Spitzenstunde der Gesamtbelastung zu ermitteln, wurden die Anteile des Verkehrsaufkommens der Erweiterung des Vennhofs pro Stunde ermittelt¹⁵. Durch Überlagerung der Belastungen aus dem Prognose-Nullfall mit dem zusätzlichen Aufkommen der Erweiterung des Vennhofs wurde die Spitzenstunde am Vormittag und Nachmittag des Gesamtaufkommens ermittelt. Diese liegt wie in der Analyse am Vormittag zwischen 07:00 und

Bericht TV

_

¹⁵ Zur Ableitung wurden Tagesganglinien aus dem Papier "Hinweise zur Schätzung des Verkehrsaufkommens von Gebietstypen; Hrsg.: FGSV; 2006; verwendet.

08:00 Uhr und am Nachmittag zwischen 16:00-17:00 Uhr. Daraus ergeben sich für das Bauvorhaben in der Spitzenstunde am Vormittag ein Verkehrsaufkommen von 25 LV¹⁶-Fahrten/h und 1 SV-Fahrten/h im Zielverkehr und 29 LV-Fahrten/h und 1 SV-Fahrten/h im Quellverkehr. Am Nachmittag ergibt sich ein Verkehrsaufkommen von 71 LV-Fahrten/h und 3 SV-Fahrten/h im Zielverkehr und 67 LV-Fahrten/h und 2 SV-Fahrten/h im Quellverkehr.

Die zuvor ermittelten Aufkommenswerte durch das Vorhaben wurden anhand der oben angegebenen Verteilungsquoten auf das Straßennetz verteilt.

4.4 Leistungsfähigkeitsbetrachtung – Prognose-Planfall

Für die drei unsignalisierten Knotenpunkte

- B 258 / Faulenbruchstraße
- B 258 / Zufahrt Parkplatz (Vennhof)
- B 258 / neue Ausfahrt Tiefgarage

wurden mit der aus der Überlagerung der Verkehre des Prognose-Nullfalles 2030 und der Verkehre des Bauvorhabens ermittelten zukünftig zu erwartenden Verkehrsmenge (vgl. Kapitel 4.1) Leistungsfähigkeitsnachweise geführt (vgl. Anhang 3).

Der Leistungsfähigkeitsnachweis für den Knoten B 258 / Faulenbruchstraße mit den prognostizierten Verkehrsmengen zeigt, dass an diesem zukünftig in der nachmittäglichen Spitzenstunde Leistungsfähigkeitsdefizite zu erwarten sind. Dies betrifft die Verkehre aus der Faulenbruchstraße und der Pilgerbornstraße. Für die bei den prognostizierten Verkehrsmengen in der Nachmittagsspitzenstunde und dem vorhandenen Knotenausbau eine Qualitätsstufe (QSV) E ermittelt wird. Die Verkehre im Zuge der B 258 weisen wie auch im Prognose-Nullfall eine Qualitätsstufe (QSV) A auf. Damit zeigt sich, dass für die B 258 keine Behinderungen auftreten. In Bezug auf diese im Prognose-Planfall ermittelten Leistungsfähigkeitsdefizite ist zu beachten, dass diese in der Nachmittagsspitzenstunde bereits im Prognose-Nullfall auftreten. Die durch die Erweiterung des Vennhofs ausgelösten Verkehre verändern die Belastungssituation an diesem Knoten nicht signifikant.

Bericht 11/17/

LV steht für Leichtverkehr und meint Fahrzeuge mit bis zu 3,5t zulässigem Gesamtgewicht. SV steht für Schwerverkehr und meint Fahrzeuge mit mehr als 3,5t zulässigem Gesamtgewicht.

Wie bereits aus früheren Verkehrsuntersuchungen für die Knotenpunkte entlang der B 258 in der Gemeinde Roetgen bekannt ist, liegen bereits heute Leistungsfähigkeitsdefizite an verschiedenen Knoten der B 258 (u.a. auch B 258 / Faulenbruchstraße) vor.

Für die Anbindung B 258 / Zufahrt Parkplatz (Vennhof) zeigen die Leistungsfähigkeitsnachweise für die beiden Spitzenstunden, dass dieser mit den prognostizierten Verkehrsmengen in die Qualitätsstufe (QSV) D und besser eingeordnet wird. Die Nachweise zeigen, dass die Anbindung auch bei den zukünftig zu erwartenden Verkehrsmengen mit dem vorhandenen Knotenausbau in ausreichend leistungsfähiger Form betrieben werden kann. Die Verkehre im Zuge der B 258 werden an dieser Anbindung nicht behindert.

Die Leistungsfähigkeitsnachweise für die neue Tiefgaragenausfahrt an der B 258 mit den prognostizierten Verkehrsmengen zeigt, dass diese mit Berücksichtigung der prognostizierten Verkehre in die Qualitätsstufe (QSV) D und besser zuzuordnen sind. Diese Nachweise zeigen, dass die Einmündung auch bei den zukünftig auftretenden Verkehrsmengen mit dem geplanten Knotenausbau in leistungsfähiger Form betrieben werden kann. Die Verkehre im Zuge der B 258 werden an dieser Anbindung nicht behindert.

Bericht TV

5. Fazit

Die hier vorgelegte aktualisierte Verkehrsuntersuchung zur Erweiterung des Vennhofs an der B 258 in der Gemeinde Roetgen kommt zu dem Ergebnis, dass die beiden Anbindungen:

- B 258 / Zufahrt Parkplatz (Vennhof)
- B 258 / Neue Tiefgaragenausfahrt (Vennhof)

zukünftig, auch mit Ansatz der durch die Erweiterung des Vennhofs zusätzlich generierten Verkehre, in ausreichend leistungsfähiger Form (Qualitätsstufe (QSV) D) betrieben werden können. Die Verkehre im Zuge der B 258 werden an diesen beiden Anbindungen nicht behindert.

Am Knotenpunkt

B 258 / Faulenbruchstraße

zeigen die Ergebnisse, dass sich die im Prognose-Nullfall schon ergebenden Leistungsfähigkeitsdefizite für die Verkehre aus der Faulenbruchstraße auf Grund der Erweiterung des Vennhofs erwartungsgemäß geringfügig erhöhen. Für die Verkehre im Zuge der B 258 ergeben sich aber auch infolge der Erweiterung des Vennhofs an diesen Knoten keine Behinderungen. Die sich bereits im Prognose-Nullfall anhand der rechnerischen Nachweise ergebende Ausbaunotwendigkeit der Zufahrt der Faulenbruchstraße wird durch die Neuverkehre, die infolge der Erweiterung des Vennhofs entstehen, nicht maßgeblich verschärft.

| | Knotenpunkte | | Prognose- Nullfall | Prognose- Mitfall |
|---|---|-------------------|-----------------------|----------------------|
| | | Knotenpunktsform | | |
| | | | Vorm. / Nachm. | Vorm. / Nachm. |
| 1 | B 258 / Faulenbruchstraße | vorfahrtsgeregelt | D/E | D/E |
| 2 | B 258 / Zufahrt Parkplatz (Vennhof) | vorfahrtsgeregelt | C/D | C/D |
| 3 | B 258 / Neue Tiefgaragenausfahrt (Vennhof) | vorfahrtsgeregelt | - | C/D |

Anders als bei dem hier unterstellten Worst-Case-Ansatz, werden sich in der Spitzenzeit nicht alle Verkehre, die durch die Erweiterung des Vennhofs entstehen, auf die B 258 orientieren. Ein Teil der auf den Ortskern bezogenen Verkehre wird über die Faulenbruchstraße abgewickelt werden und somit die Belastungssituation am Knoten geringfügig entspannen.

Bericht 11/1/17

6. Anhang

Anhang 1:

- Auswertung der Verkehrszählung an dem Knotenpunkt B 258 / Zufahrt Parkplatz (Vennhof) im Juli 2019 für die Vormittagsstundengruppe 6:00 bis 10:00 Uhr und die Nachmittagsstundengruppe 15:00 bis 19:00 Uhr
- Verkehrsbelastungen der maßgebenden Spitzenstunden für den Knotenpunkt B 258 / Faulenbruchstraße und B 258 / Zufahrt Parkplatz (Vennhof)

Anhang 2:

- Verkehrsbelastungen und Leistungsfähigkeitsbetrachtung Prognose-Nullfall für den Knotenpunkt B 258 / Faulenbruchstraße in der Vor- und Nachmittagsspitzenstunde
- Verkehrsbelastungen und Leistungsfähigkeitsbetrachtung Prognose-Nullfall für den Knotenpunkt B 258 / Zufahrt Parkplatz (Vennhof) in der Vor- und Nachmittagsspitzenstunde

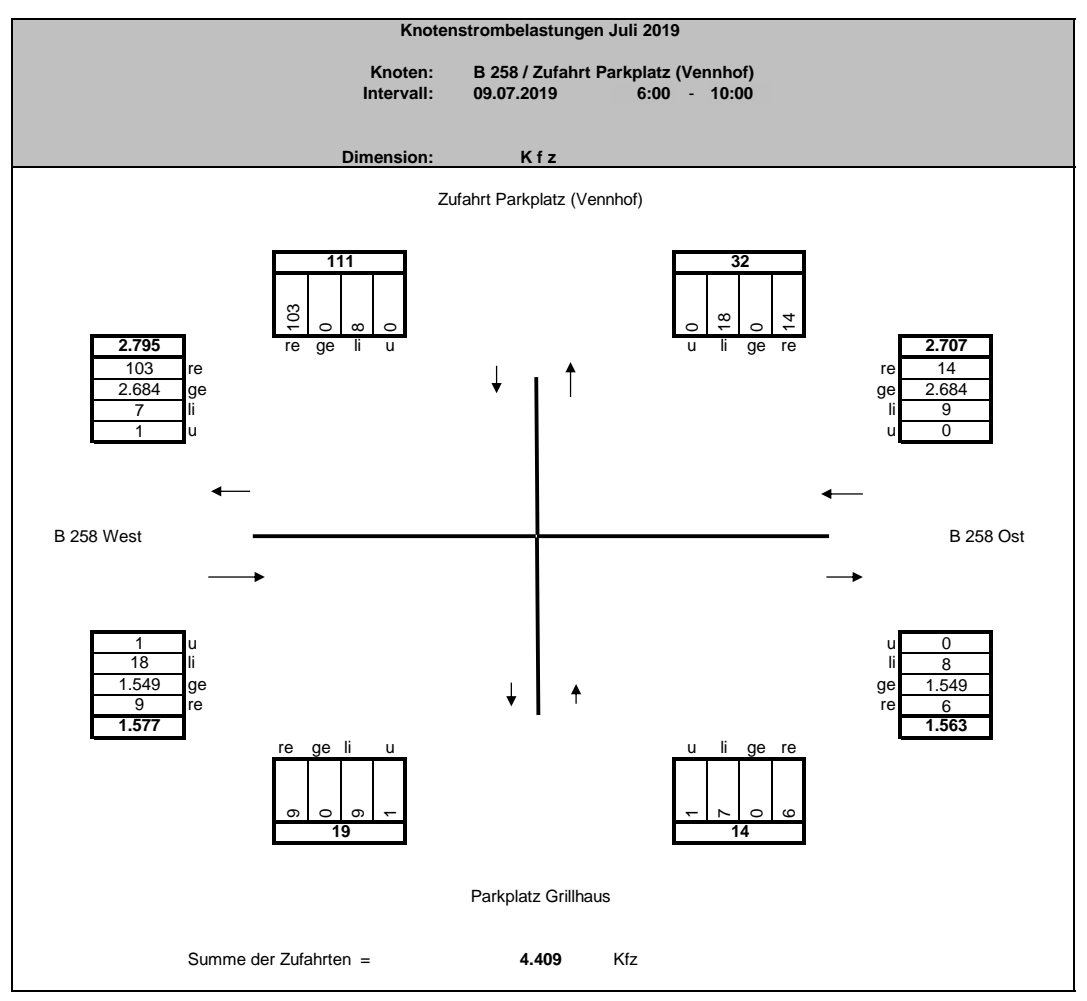
Anhang 3:

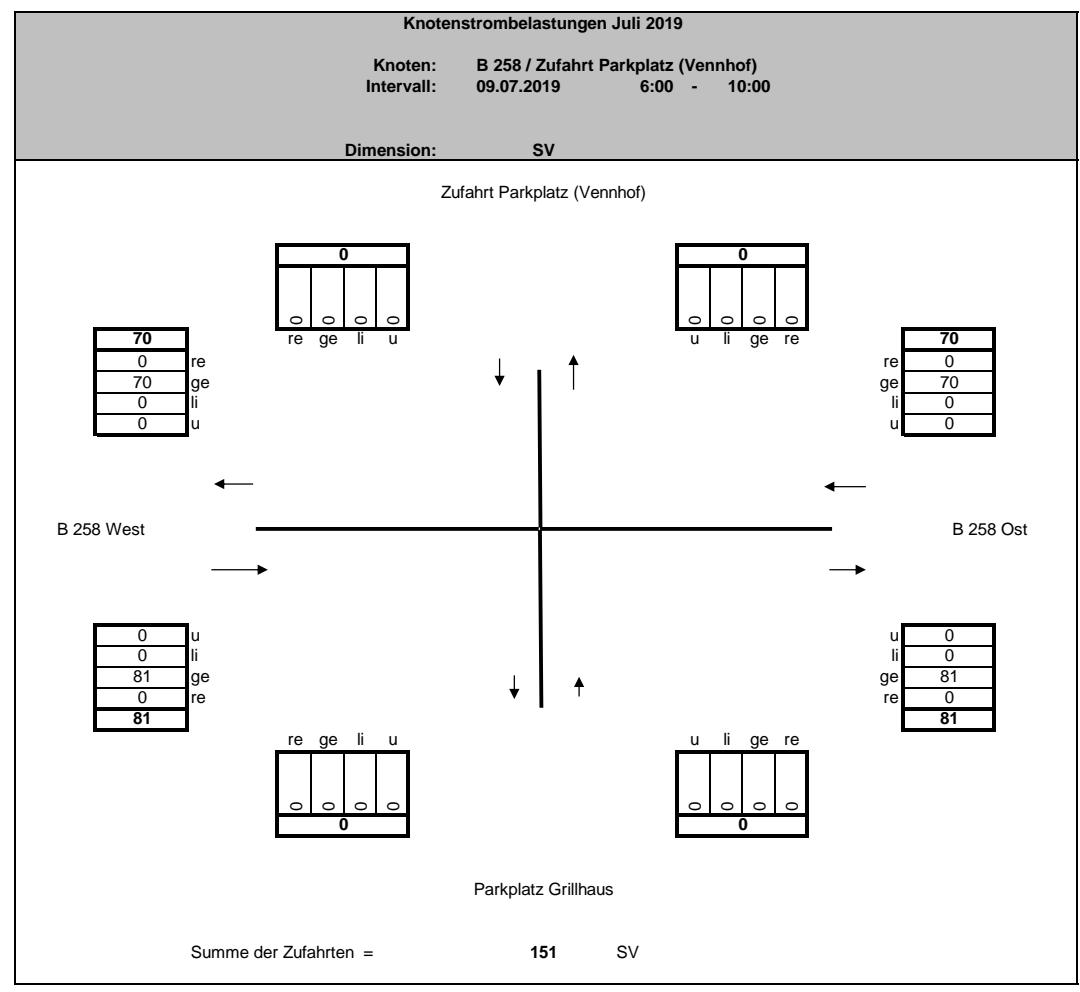
- Verkehrsbelastungen und Leistungsfähigkeitsbetrachtung Prognose-Planfall für den Knotenpunkt B 258 / Faulenbruchstraße in der Vor- und Nachmittagsspitzenstunde
- Verkehrsbelastungen und Leistungsfähigkeitsbetrachtung Prognose-Planfall für den Knotenpunkt B 258 / Zufahrt Parkplatz (Vennhof) in der Vor- und Nachmittagsspitzenstunde
- Verkehrsbelastungen und Leistungsfähigkeitsbetrachtung Prognose-Planfall für den Knotenpunkt B 258 / Neue Tiefgaragenausfahrt (Vennhof) in der Vor- und Nachmittagsspitzenstunde

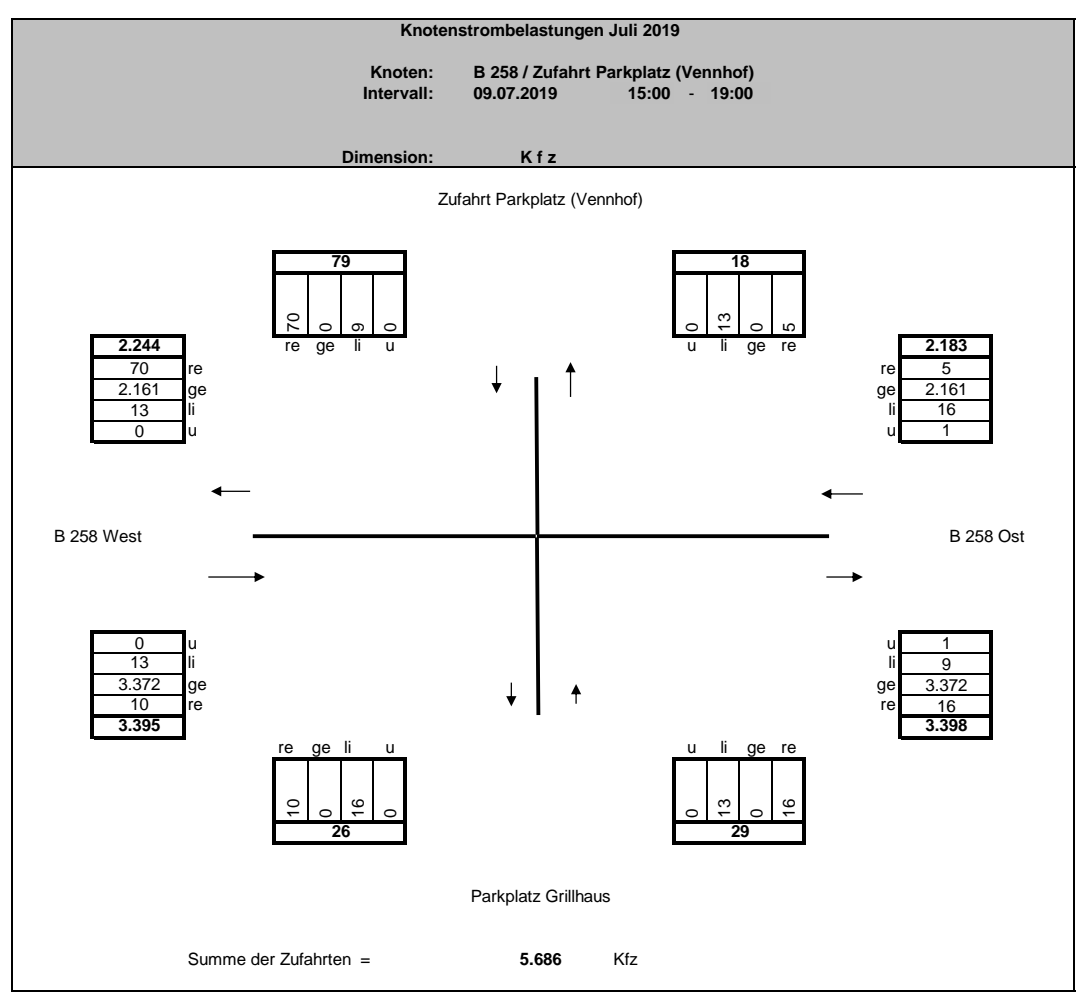
Bericht TV

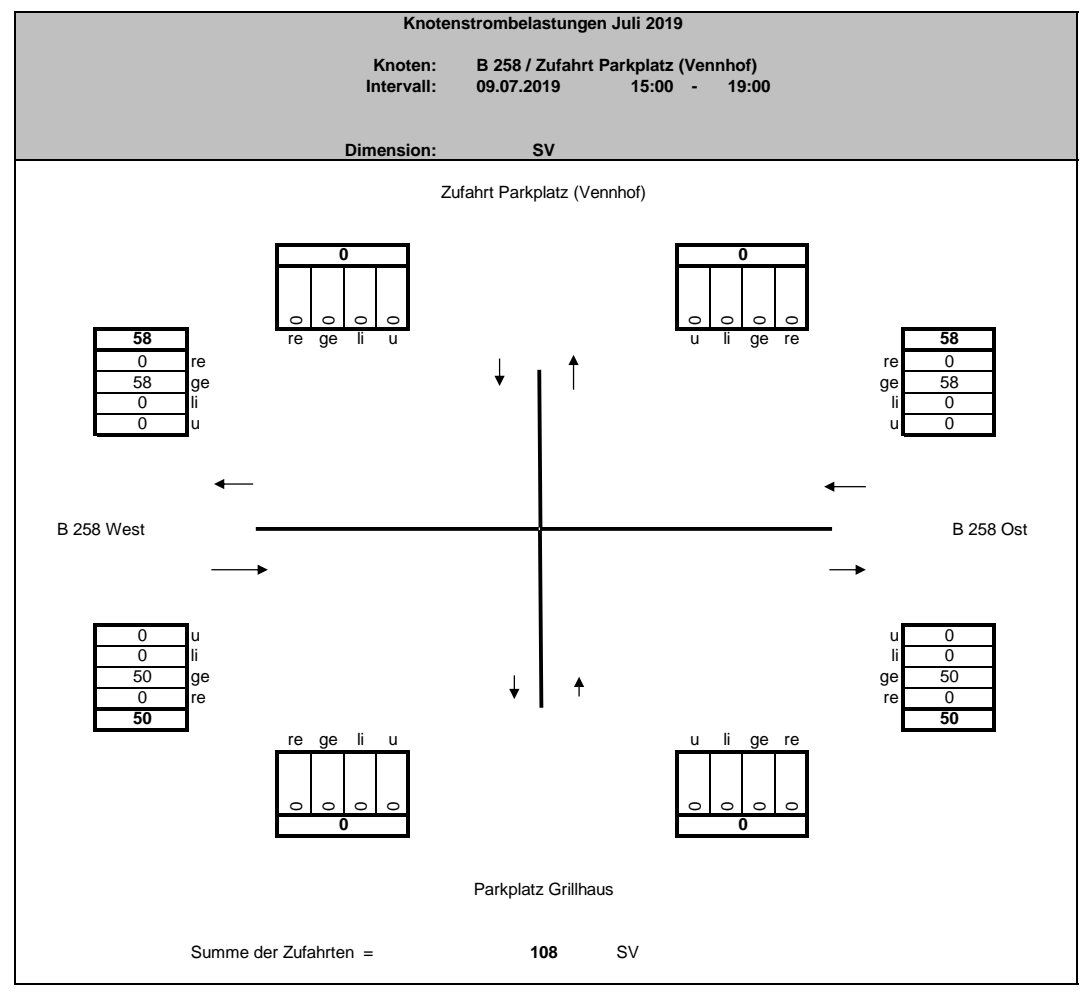
| | Name der Erhe Zeitinter | vall 1 | Dienstag, 9 |). Juli 2019 | rkplatz Ven , 06:00 - 10: | 00 Uhr | | | | | | | | | | | |
|---|----------------------------|--------|----------------------------|--------------|------------------------------|--------|------------|--------|--------|--------|----------------------------|--------|--------|--------|------------|---------|----------------|
| | Zeitinter Kn | | | | , 15:00 - 19: latz (Vennh | | | | | | | | | | | Kraftfa | hrzeuge (Kfz) |
| | | | latz (Vennho tung Süden | of) | | B 258 | | | i | | : Grillhaus tung Norder | | | | West | | Gesamt |
| Intervall | U-Turn | Links | Gerade | Rechts | U-Turn | Links | Gerade | Rechts | U-Turn | Links | Gerade | Rechts | U-Turn | Links | Gerade | Rechts | Summe |
| 6:00 | 0 | 0 | 0 | 2 | 0 | 0 | 166 | 0 | 0 | 0 | 0 | 0 | 0 | 1 | 35 | 0 | 204 |
| 6:15 | 0 | 0 | 0 | 5 | 0 | 1 | 213 | 1 | 0 | 0 | | | 0 | 0 | 55 | 0 | 275 |
| 6:30 6:45 | 0 | 0 | 0 | 11 7 | 0 | 1 | 174 211 | 0 | 0 | 0 | | | 0 | 1 | 71 75 | 0 | 258 298 |
| Summe 6:00 - 7:00 | 0 | 1 | 0 | 25 | 0 | 2 | 764 | 1 | 0 | 0 | | 2 | 0 | 3 | 236 | 1 | 1.035 |
| 7:00 | 0 | 0 | 0 | 4 | 0 | 0 | 231 | 1 | 0 | 1 | 0 | | 1 | 0 | 96 | 0 | 334 |
| 7:15 | 0 | 0 | 0 | 8 | 0 | 1 | 179 | 0 | 1 | 1 | 0 | | 0 | 0 | 132 | 0 | 322 |
| 7:30 7:45 | 0 | 1 | 0 | 3 11 | 0 | 0 | 194 183 | 1 | 0 | 0 | | 1 | 0 | 3 2 | 133 120 | 2 | 338 |
| 7:45 Summe 7:00 - 8:00 | 0 | 1 | 0 | 26 | 0 | 2 | 787 | 2 | 1 | 2 | | 1 | 1 | 5 | 481 | 3 | 318 1.312 |
| 8:00 | 0 | 2 | 0 | 8 | 0 | 0 | 185 | 3 | 0 | 2 | | 1 | 0 | 0 | 79 | 2 | 282 |
| 8:15 | 0 | 0 | 0 | 8 | 0 | 2 | 175 | 2 | 0 | 1 | 0 | | 0 | 1 | 93 | 1 | 284 |
| 8:30 | 0 | 0 | 0 | 6 | 0 | 1 | 141 | 0 | 0 | 1 | 0 | | 0 | 1 | 112 | 0 | 262 |
| 8:45 | 0 | 1 | 0 | 7 | 0 | 0 | 148 | 2 | 0 | 1 | 0 | | 0 | 4 | 109 | 2 | 274 |
| Summe 8:00 - 9:00 9:00 | 0 | 3 | 0 | 29 7 | 0 | 3 | 649 | 7 | 0 | 5 | 0 | 2 | 0 | 6 | 393 | 5 | 1.102 |
| 9:15 | 0 | 1 2 | 0 | 4 | 0 | 0 | 122 137 | 2 | 0 | 0 | - | - | 0 | 1 | 97 117 | 0 | 263 |
| 9:30 | 0 | 0 | 0 | 6 | 0 | 2 | 101 | 0 | 0 | 0 | 0 | 1 | 0 | 1 | 115 | 0 | 226 |
| 9:45 | 0 | 0 | 0 | 6 | 0 | 0 | 124 | 2 | 0 | 0 | 0 | 0 | 0 | 0 | 110 | 0 | 242 |
| Summe 9:00 - 10:00 | 0 | 3 | 0 | 23 | 0 | 2 | 484 | 4 | 0 | 0 | 0 | 1 | 0 | 4 | 439 | 0 | 960 |
| Summe 6:00 - 10:00 | 0 | 8 | 0 | 103 | 0 | 9 | 2.684 | 14 | 1 | 7 | 0 | 6 | 1 | 18 | 1.549 | 9 | 4.409 |
| 15:00 | 0 | 0 | 0 | 3 | 0 | 0 | 114 | 1 | 0 | 1 | 0 | 1 | 0 | 5 | 183 | 0 | 308 |
| 15:15 | 0 | 2 | 0 | 4 | 0 | 0 | 148 | 0 | 0 | 2 | | | 0 | 2 | | 0 | 359 |
| 15:30 15:45 | 0 | 0 | 0 | 6 | 0 | 0 | 137 135 | 1 | 0 | 0 | | | 0 | 0 | 170 215 | 0 | 314 360 |
| Summe 15:00 - 16:00 | 0 | 2 | 0 | 19 | 0 | 3 | 534 | 2 | 0 | 3 | | 1 | 0 | 7 | 769 | 1 | 1.341 |
| 16:00 | 0 | 0 | 0 | 6 | 0 | 4 | 139 | 0 | 0 | 1 | 0 | 3 | 0 | 0 | 203 | 0 | 356 |
| 16:15 | 0 | 1 | 0 | 7 | 0 | 2 | 155 | 1 | 0 | 0 | 0 | 1 | 0 | 0 | 259 | 0 | 426 |
| 16:30 | 0 | 1 | 0 | 3 | 0 | 0 | 148 | 1 | 0 | 0 | | | 0 | 0 | 268 | 0 | 421 |
| 16:45 Summe 16:00 - 17:00 | 0 | 3 | 0 | 20 | 1 | 0 | 144 586 | 0 | 0 | 0 | 0 | 1 | 0 | 0 | 245 975 | 3 | 399 1.602 |
| 17:00 | 0 | 0 | 0 | 20 | 0 | 1 | 169 | 0 | 0 | 3 | 0 | 2 | 0 | 0 | 227 | 1 | 405 |
| 17:15 | 0 | 1 | 0 | 4 | 0 | 0 | 138 | 1 | 0 | 1 | 0 | | 0 | 1 | 230 | 0 | 376 |
| 17:30 | 0 | 1 | 0 | 6 | 0 | 1 | 126 | 0 | 0 | 0 | | | 0 | 3 | 230 | 0 | 369 |
| 17:45 | 0 | 0 | 0 | 7 | 0 | 0 | 136 | 0 | 0 | 1 | 0 | | 0 | 0 | 209 | 1 | 356 |
| Summe 17:00 - 18:00 | 0 | 2 | 0 | 19 | 0 | 2 | 569 | 1 | 0 | 5 | | | 0 | 4 | 896 | 2 | 1.506 |
| 18:00 18:15 | 0 | 0 | 0 | 3 | 0 | 3 | 133 106 | 0 | 0 | 0 | | | 0 | 0 | 202 198 | 1 2 | 343 316 |
| 18:30 | 0 | 1 | 0 | 3 | 0 | 2 | 124 | 0 | 0 | 2 | | | 0 | 0 | 175 | 1 | 308 |
| 18:45 | 0 | 0 | 0 | 2 | 0 | 0 | 109 | 0 | 0 | 0 | 0 | | 0 | 0 | 157 | 0 | 270 |
| Summe 18:00 - 19:00 | 0 | 2 | 0 | 12 | 0 | 5 | 472 | 0 | 0 | 4 | 0 | 4 | 0 | 2 | 732 | 4 | 1.237 |
| Summe 15:00 - 19:00 | 0 | 9 | 0 | 70 | 1 | 16 | 2.161 | 5 | 0 | 13 | 0 | 16 | 0 | 13 | 3.372 | 10 | 5.686 |
| Vormittagsspitze 07:00 - 08:00 Nachmittagsspitze 16:15 - 17:15 | 0 | 1 3 | 0 0 | 26 16 | 0 | 2 3 | 787 616 | 2 2 | 1 0 | 2 3 | | | 1 0 | 5 0 | 481 999 | 3 4 | 1.312 1.651 |

Ingenieurgruppe IVV GmbH & Co. KG

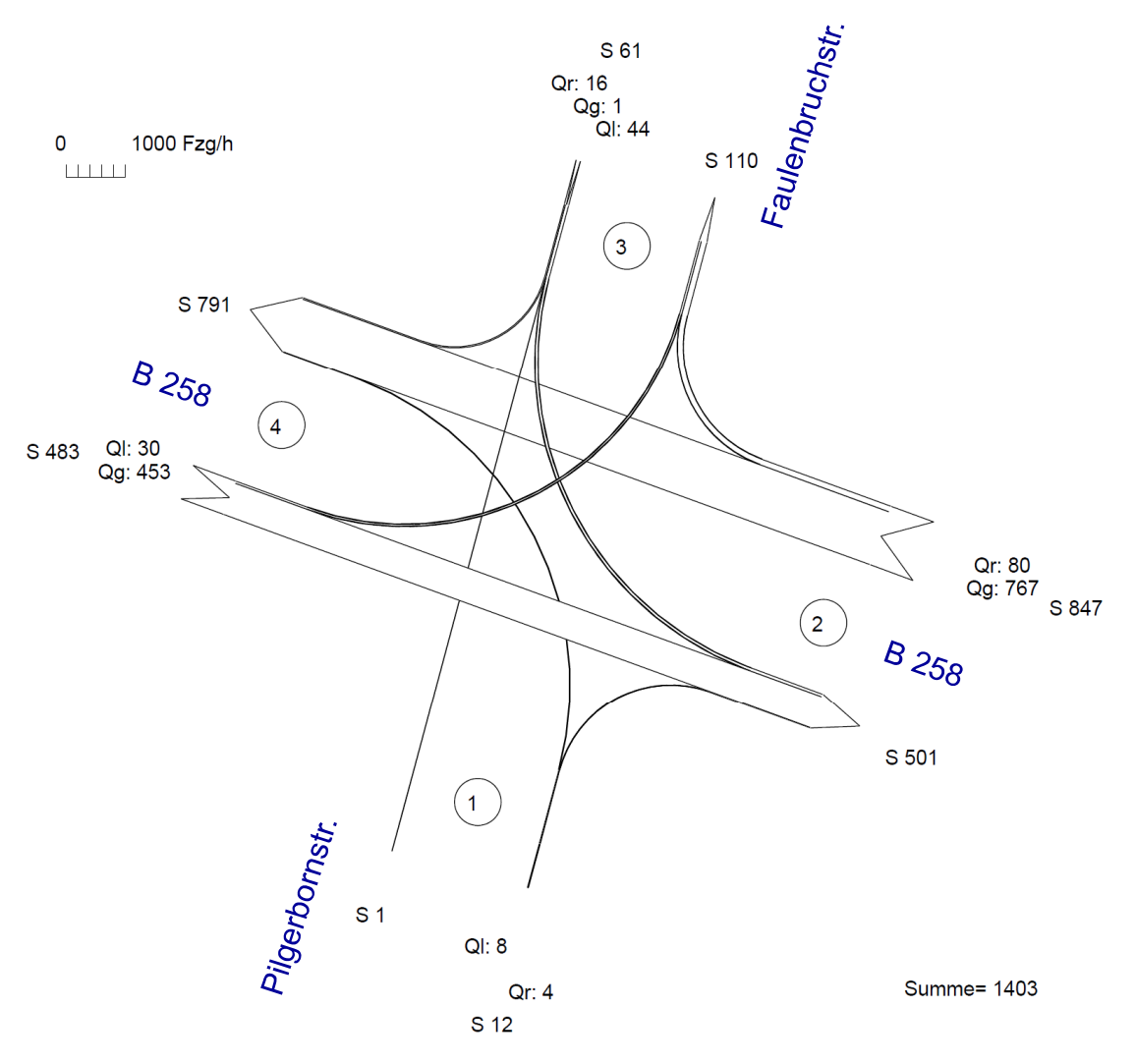








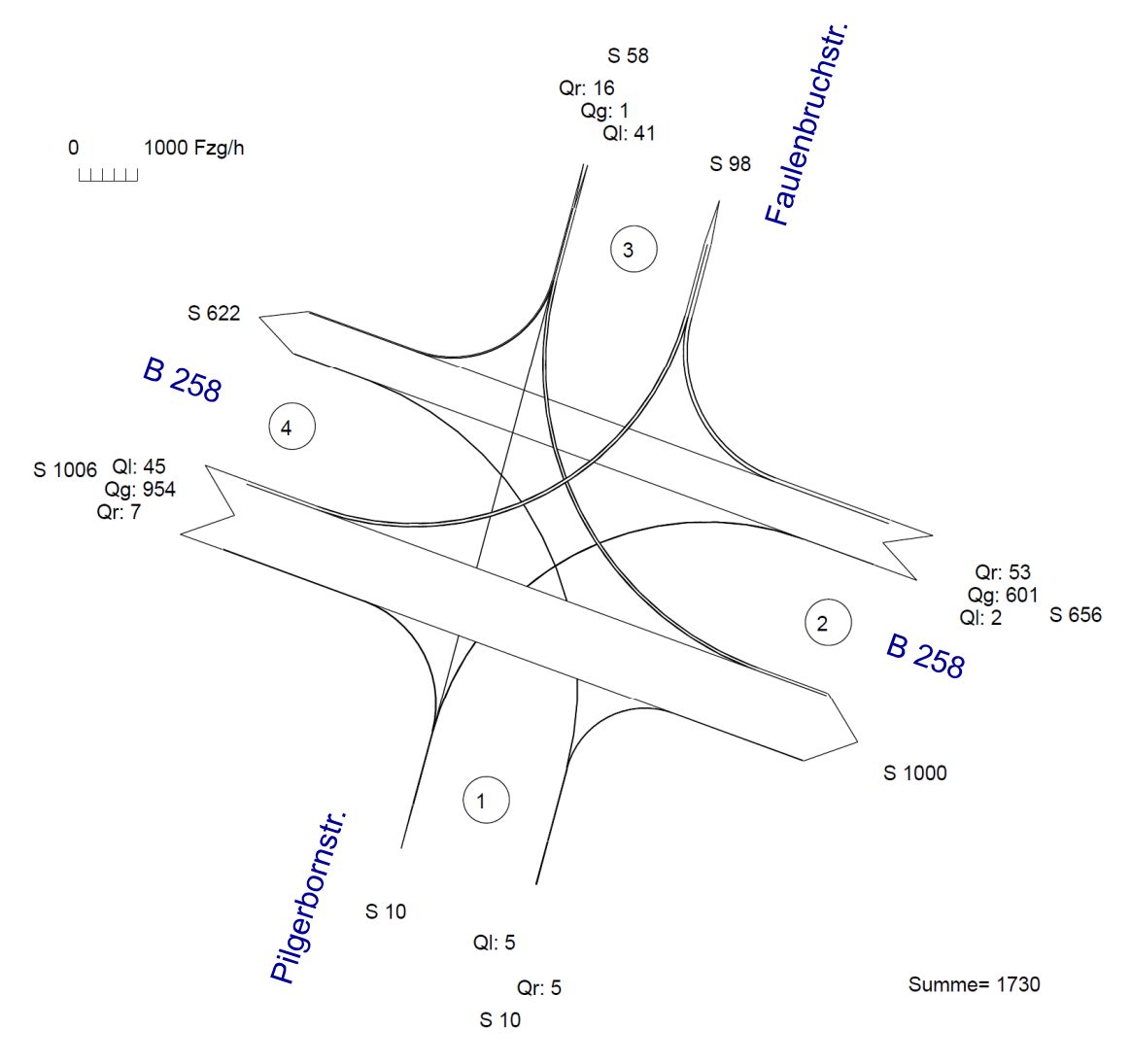
B 258 / Faulenbruchstraße **Vormittagsspitzenstunde**



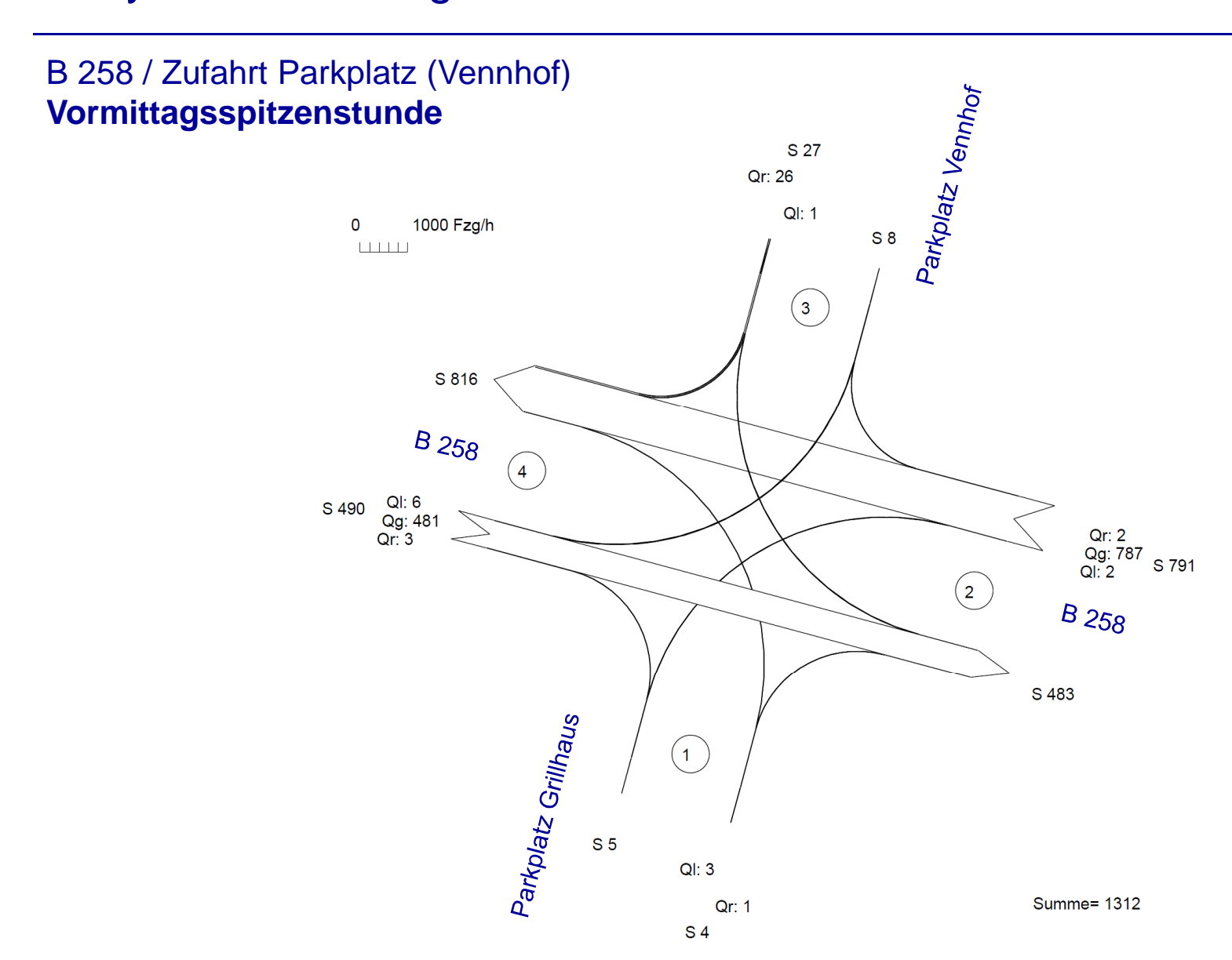


B 258 / Faulenbruchstraße

Nachmittagsspitzenstunde



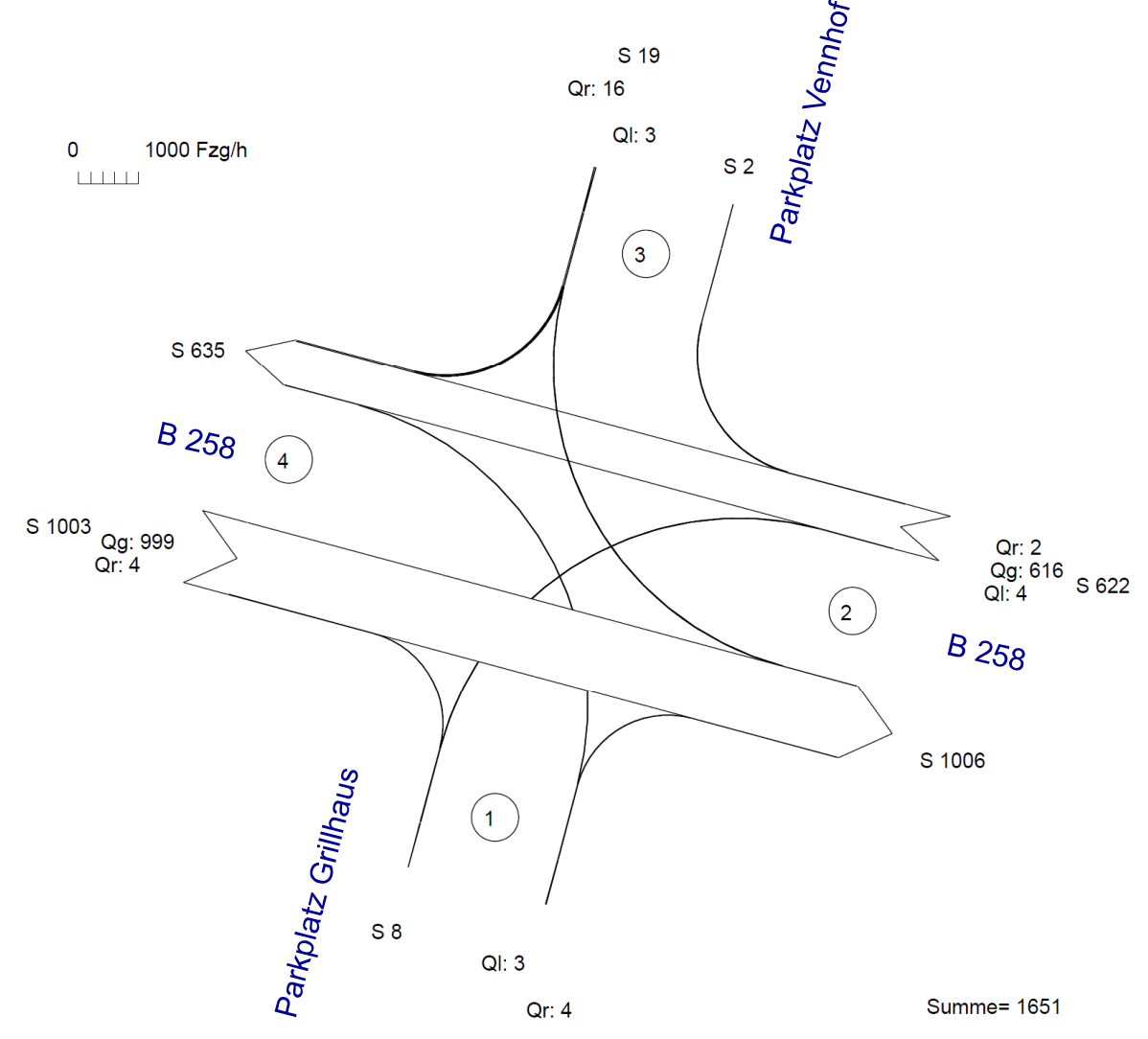






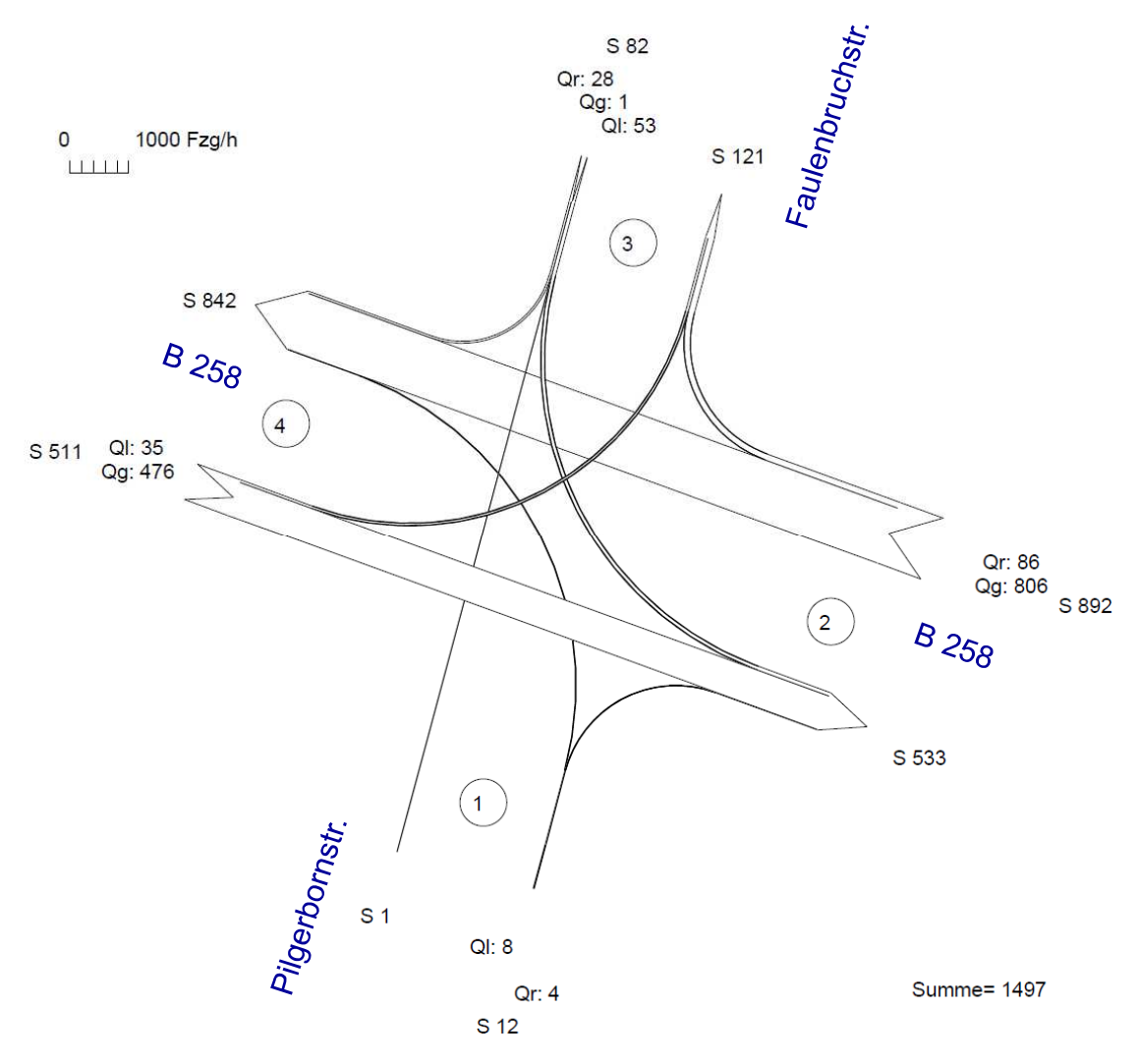
B 258 / Zufahrt Parkplatz (Vennhof)

Nachmittagsspitzenstunde





B 258 / Faulenbruchstraße **Vormittagsspitzenstunde**





B 258 / Faulenbruchstraße **Vormittagsspitzenstunde**



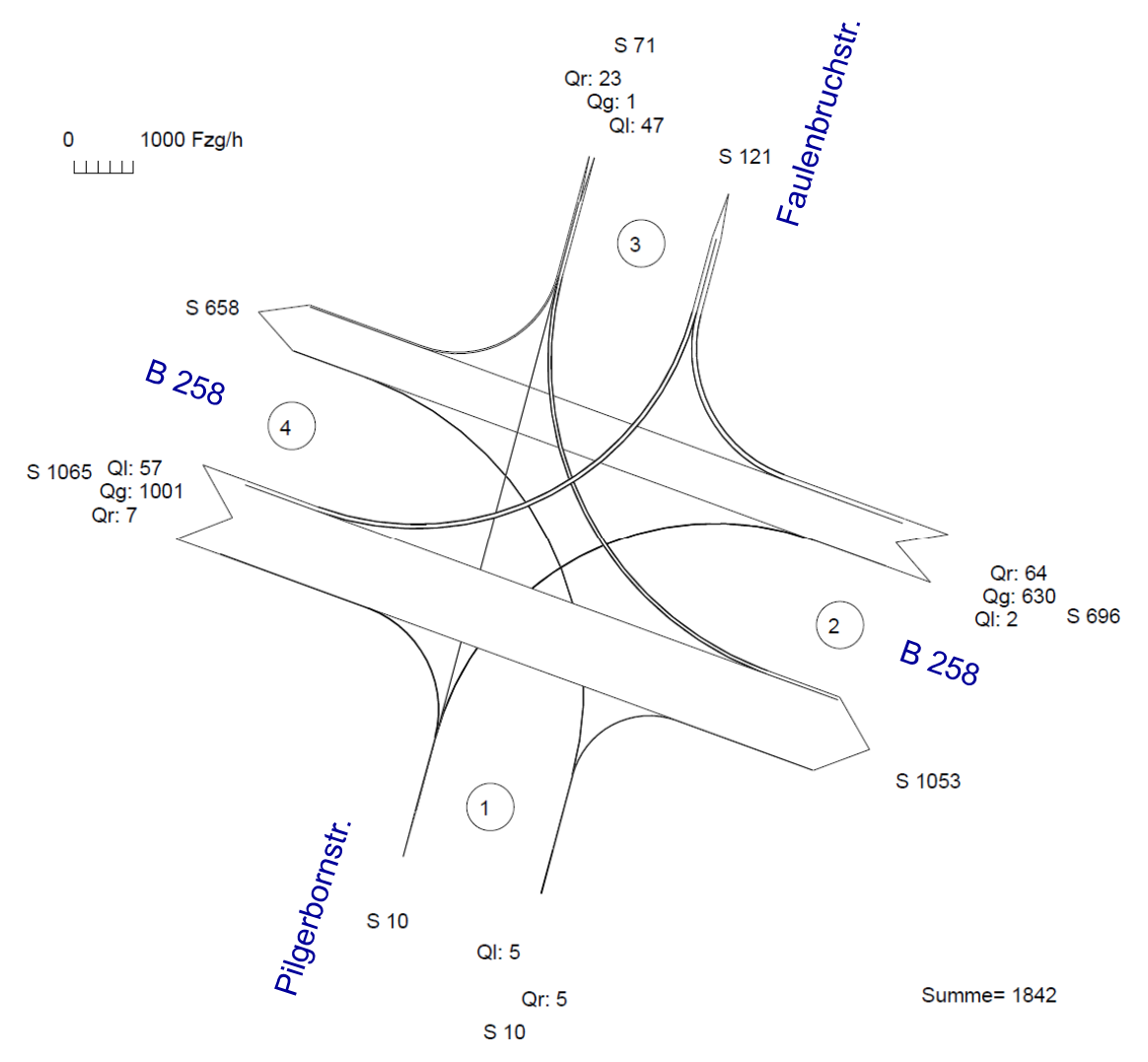
| | Kapazitäten der Einzelströme | | | | | | | | | | | | |
|---------|------------------------------|-----------------------------|-----------|-----------------------|------------|---------------------|------------|------------------------------------|--|--|--|--|--|
| | | Hauptströme | Grundkap. | Abminderungs- | Kapazität | Auslastungs- | staufreier | staufreier | | | | | |
| Zufahrt | Strom | $q_{\mathbf{p},\mathbf{i}}$ | Gi | faktor f _f | $C_{PE,i}$ | grad x _i | Zustand | Zustand | | | | | |
| | (Rang) | [Fz/h] | [Pkw-E/h] | [-] | [Pkw-E/h] | [-] | p_0 | p _x bzw. p _z | | | | | |
| | 1 (2) | 892 | 466 | 1,000 | 466 | 0,077 | 0,923 | 0,923 | | | | | |
| Α | 2 (1) | | 1800 | 1,000 | 1800 | 0,271 | 1,000 | | | | | | |
| | 3 (1) | 0 | 1600 | 1,000 | 1600 | 0,000 | 1,000 | | | | | | |
| | 4 (4) | 1389 | 170 | 1,000 | 145 | 0,055 | | | | | | | |
| В | 5 (3) | 1403 | 152 | 1,000 | 141 | 0,000 | 1,000 | 0,923 | | | | | |
| | 6 (2) | 476 | 671 | 1,000 | 671 | 0,006 | 0,994 | | | | | | |
| | 7 (2) | 476 | 748 | 1,000 | 748 | 0,000 | 1,000 | 0,923 | | | | | |
| С | 8 (1) | | 1800 | 1,000 | 1800 | 0,455 | 1,000 | | | | | | |
| | 9 (1) | 0 | 1600 | 1,000 | 1600 | 0,055 | 1,000 | | | | | | |
| | 10 (4) | 1364 | 176 | 1,000 | 161 | 0,329 | | | | | | | |
| D | 11 (3) | 1360 | 162 | 1,000 | 149 | 0,007 | 0,993 | 0,918 | | | | | |
| | 12 (2) | 849 | 425 | 1,000 | 425 | 0,068 | 0,932 | | | | | | |

| | | | Qualitä | t der Ein: | zel- und | Mischstr | röme | | |
|---------|-------|------------|------------|------------|-----------|---------------------|------------------------|-------------|------------|
| | | Fahrzeuge | Faktoren | Kapazität | Kapazität | Auslastungs- | Kapazitäts- | mittlere | Qualitäts- |
| Zufahrt | Strom | $q_{Fz,i}$ | $f_{PE,i}$ | $C_{PE,i}$ | Ci | grad x _i | reserve R _i | Wartezeit w | stufe |
| | | [Fz/h] | [-] | [Pkw-E/h] | [Fz/h] | [-] | [Fz/h] | [s] | QSV |
| | 1 | 47 | 1,030 | 461 | 447 | 0,105 | 400 | 9,0 | Α |
| Α | 2 | 486 | 1,026 | 1800 | 1755 | 0,277 | 1269 | 0,0 | Α |
| | 3 | | | | | | | | |
| | 4 | 8 | 1,000 | 141 | 141 | 0,057 | 133 | 27,1 | С |
| В | 5 | | | | | | | | |
| | 6 | 4 | 1,000 | 663 | 663 | 0,006 | 659 | 5,5 | Α |
| | 7 | | | | | | | | |
| С | 8 | 809 | 1,016 | 1800 | 1772 | 0,456 | 963 | 0,0 | Α |
| | 9 | 92 | 1,015 | 1600 | 1576 | 0,058 | 1484 | 0,0 | Α |
| | 10 | 47 | 1,000 | 150 | 150 | 0,312 | 103 | 34,7 | D |
| D | 11 | 1 | 1,000 | 139 | 139 | 0,007 | 138 | 26,0 | С |
| | 12 | 18 | 1,039 | 422 | 406 | 0,044 | 388 | 9,3 | Α |



B 258 / Faulenbruchstraße

Nachmittagsspitzenstunde





B 258 / Faulenbruchstraße **Nachmittagsspitzenstunde**



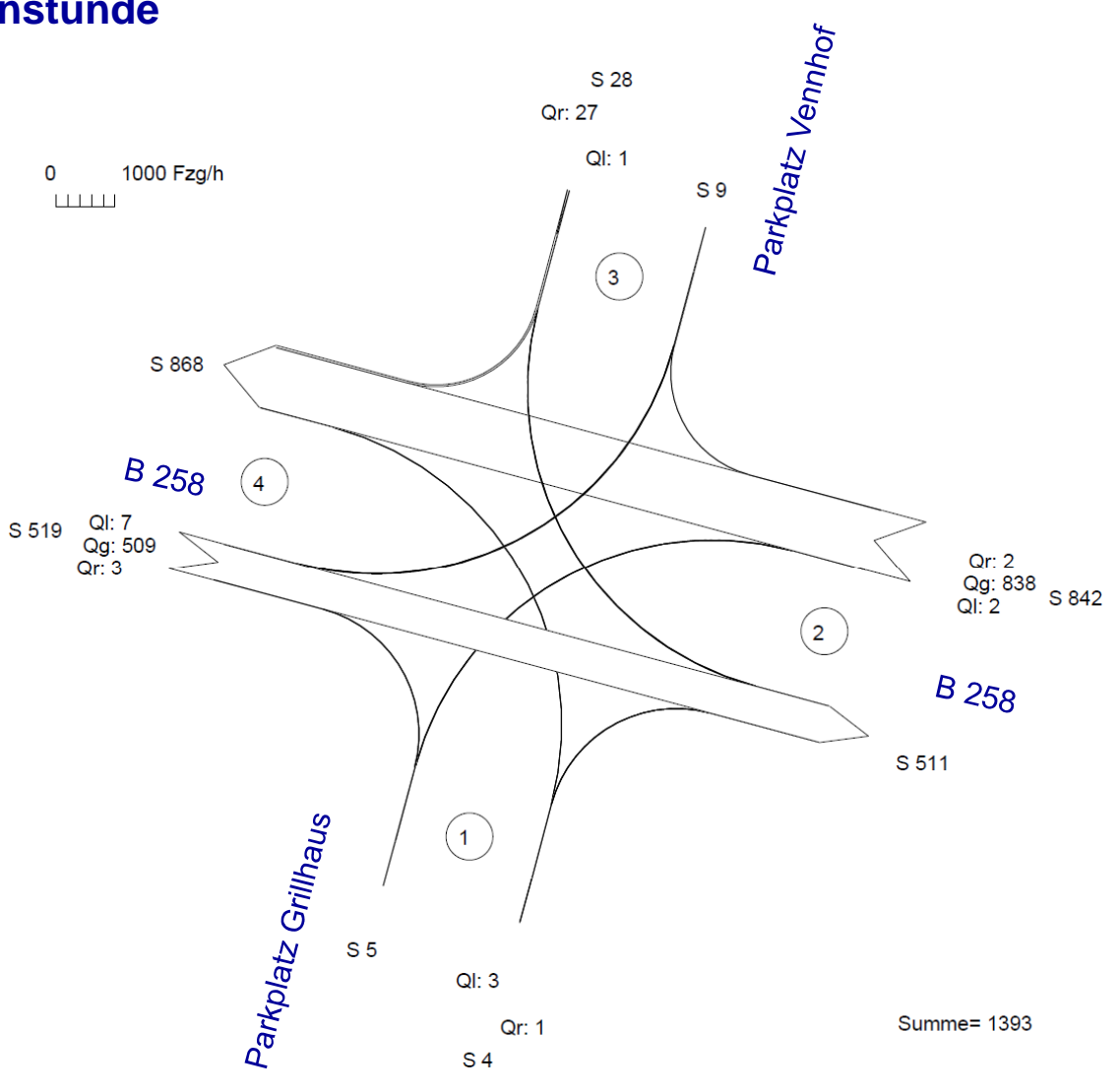
| | | | Kapazit | täten der | Einzelst | röme | | |
|---------|--------|-----------------------------|------------------|-----------------------|------------|---------------------|------------|------------------------------------|
| | | Hauptströme | Grundkap. | Abminderungs- | Kapazität | Auslastungs- | staufreier | staufreier |
| Zufahrt | Strom | $q_{\mathbf{p},\mathbf{i}}$ | $G_{\mathbf{i}}$ | faktor f _f | $C_{PE,i}$ | grad x _i | Zustand | Zustand |
| | (Rang) | [Fz/h] | [Pkw-E/h] | [-] | [Pkw-E/h] | [-] | p_0 | p _x bzw. p _z |
| | 1 (2) | 694 | 583 | 1,000 | 583 | 0,098 | 0,902 | 0,898 |
| Α | 2 (1) | | 1800 | 1,000 | 1800 | 0,561 | 1,000 | |
| | 3 (1) | 0 | 1600 | 1,000 | 1600 | 0,004 | 1,000 | |
| | 4 (4) | 1750 | 104 | 1,000 | 88 | 0,057 | | |
| В | 5 (3) | 1758 | 93 | 1,000 | 83 | 0,000 | 1,000 | 0,898 |
| | 6 (2) | 1005 | 352 | 1,000 | 352 | 0,014 | 0,986 | |
| | 7 (2) | 1008 | 408 | 1,000 | 408 | 0,005 | 0,995 | 0,898 |
| С | 8 (1) | | 1800 | 1,000 | 1800 | 0,356 | 1,000 | |
| | 9 (1) | 0 | 1600 | 1,000 | 1600 | 0,041 | 1,000 | |
| | 10 (4) | 1731 | 107 | 1,000 | 94 | 0,498 | | |
| D | 11 (3) | 1729 | 96 | 1,000 | 87 | 0,012 | 0,988 | 0,889 |
| | 12 (2) | 662 | 534 | 1,000 | 534 | 0,043 | 0,957 | |

| | | | Qualitä | t der Ein | zel- und | Mischstı | öme | | |
|---------|-------|------------|------------|------------|-----------|---------------------|------------------------|-------------|------------|
| | | Fahrzeuge | Faktoren | Kapazität | Kapazität | Auslastungs- | Kapazitäts- | mittlere | Qualitäts- |
| Zufahrt | Strom | $q_{Fz,i}$ | $f_{PE,i}$ | $C_{PE,i}$ | Ci | grad x _i | reserve R _i | Wartezeit w | stufe |
| | | [Fz/h] | [-] | [Pkw-E/h] | [Fz/h] | [-] | [Fz/h] | [s] | QSV |
| | 1 | 57 | 1,000 | 583 | 583 | 0,098 | 526 | 6,8 | Α |
| Α | 2 | 1001 | 1,008 | 1800 | 1785 | 0,561 | 784 | 0,0 | Α |
| | 3 | 7 | 1,000 | 1600 | 1600 | 0,004 | 1593 | 0,0 | Α |
| | 4 | 5 | 1,000 | 88 | 88 | 0,057 | 83 | 43,2 | D |
| В | 5 | | | | | | | | |
| | 6 | 5 | 1,000 | 352 | 352 | 0,014 | 347 | 10,4 | В |
| | 7 | 2 | 1,000 | 408 | 408 | 0,005 | 406 | 8,9 | Α |
| С | 8 | 630 | 1,017 | 1800 | 1770 | 0,356 | 1140 | 0,0 | Α |
| | 9 | 64 | 1,022 | 1600 | 1566 | 0,041 | 1502 | 0,0 | Α |
| | 10 | 47 | 1,000 | 94 | 94 | 0,498 | 47 | 74,4 | E |
| D | 11 | 1 | 1,000 | 87 | 87 | 0,012 | 86 | 42,0 | D |
| | 12 | 23 | 1,000 | 534 | 534 | 0,043 | 511 | 7,0 | Α |



B 258 / Zufahrt Parkplatz (Vennhof)

Vormittagsspitzenstunde





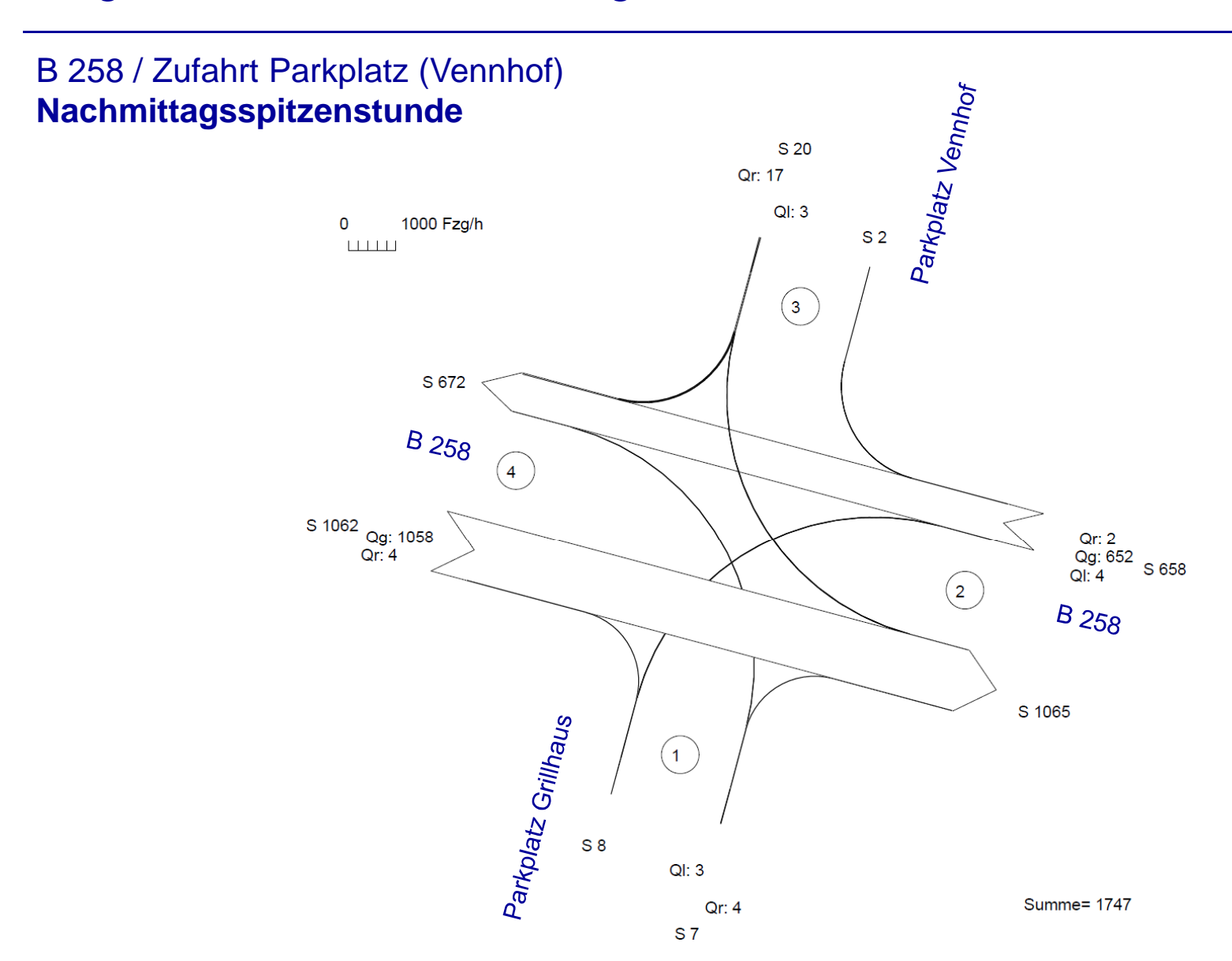
B 258 / Zufahrt Parkplatz (Vennhof) **Vormittagsspitzenstunde**



| | Kapazitäten der Einzelströme | | | | | | | | | | | | | |
|---------|------------------------------|-----------------------------|------------------|-----------------------|------------|---------------------|------------|------------------------------------|--|--|--|--|--|--|
| | | Hauptströme | Grundkap. | Abminderungs- | Kapazität | Auslastungs- | staufreier | staufreier | | | | | | |
| Zufahrt | Strom | $q_{\mathbf{p},\mathbf{i}}$ | $G_{\mathbf{i}}$ | faktor f _f | $C_{PE,i}$ | grad x _i | Zustand | Zustand | | | | | | |
| | (Rang) | [Fz/h] | [Pkw-E/h] | [-] | [Pkw-E/h] | [-] | p_0 | p _x bzw. p _z | | | | | | |
| | 1 (2) | 840 | 494 | 1,000 | 494 | 0,014 | 0,986 | 0,983 | | | | | | |
| Α | 2 (1) | | 1800 | 1,000 | 1800 | 0,290 | 1,000 | | | | | | | |
| | 3 (1) | 0 | 1600 | 1,000 | 1600 | 0,002 | 1,000 | | | | | | | |
| | 4 (4) | 1386 | 171 | 1,000 | 157 | 0,019 | | | | | | | | |
| В | 5 (3) | 1360 | 162 | 1,000 | 159 | 0,000 | 1,000 | 0,983 | | | | | | |
| | 6 (2) | 511 | 643 | 1,000 | 643 | 0,002 | 0,998 | | | | | | | |
| | 7 (2) | 512 | 718 | 1,000 | 718 | 0,003 | 0,997 | 0,983 | | | | | | |
| С | 8 (1) | | 1800 | 1,000 | 1800 | 0,473 | 1,000 | | | | | | | |
| | 9 (1) | 0 | 1600 | 1,000 | 1600 | 0,001 | 1,000 | | | | | | | |
| | 10 (4) | 1360 | 177 | 1,000 | 174 | 0,006 | | | | | | | | |
| D | 11 (3) | 1360 | 162 | 1,000 | 159 | 0,000 | 1,000 | 0,983 | | | | | | |
| | 12 (2) | 839 | 430 | 1,000 | 430 | 0,063 | 0,937 | | | | | | | |

| | | | Qualitä | t der Ein: | zel- und | Mischstr | öme | | |
|---------|-------|------------|------------|------------|-----------|---------------------|------------------------|-------------|------------|
| | | Fahrzeuge | Faktoren | Kapazität | Kapazität | Auslastungs- | Kapazitäts- | mittlere | Qualitäts- |
| Zufahrt | Strom | $q_{Fz,i}$ | $f_{PE,i}$ | $C_{PE,i}$ | C_{i} | grad x _i | reserve R _i | Wartezeit w | stufe |
| | | [Fz/h] | [-] | [Pkw-E/h] | [Fz/h] | [-] | [Fz/h] | [s] | QSV |
| | 1 | 7 | 1,000 | 494 | 494 | 0,014 | 487 | 7,4 | Α |
| Α | 2 | 509 | 1,026 | 1800 | 1754 | 0,290 | 1245 | 0,0 | Α |
| | 3 | 3 | 1,000 | 1600 | 1600 | 0,002 | 1597 | 0,0 | Α |
| | 4 | 3 | 1,000 | 157 | 157 | 0,019 | 154 | 23,3 | С |
| В | 5 | | | | | | | | |
| | 6 | 1 | 1,000 | 643 | 643 | 0,002 | 642 | 5,6 | Α |
| | 7 | 2 | 1,000 | 718 | 718 | 0,003 | 716 | 5,0 | Α |
| С | 8 | 838 | 1,016 | 1800 | 1772 | 0,473 | 934 | 0,0 | Α |
| | 9 | 2 | 1,000 | 1600 | 1600 | 0,001 | 1598 | 0,0 | Α |
| | 10 | 1 | 1,000 | 174 | 174 | 0,006 | 173 | 20,9 | С |
| D | 11 | - | | | | | | | |
| | 12 | 27 | 1,000 | 430 | 430 | 0,063 | 403 | 8,9 | Α |







B 258 / Zufahrt Parkplatz (Vennhof)

Nachmittagsspitzenstunde

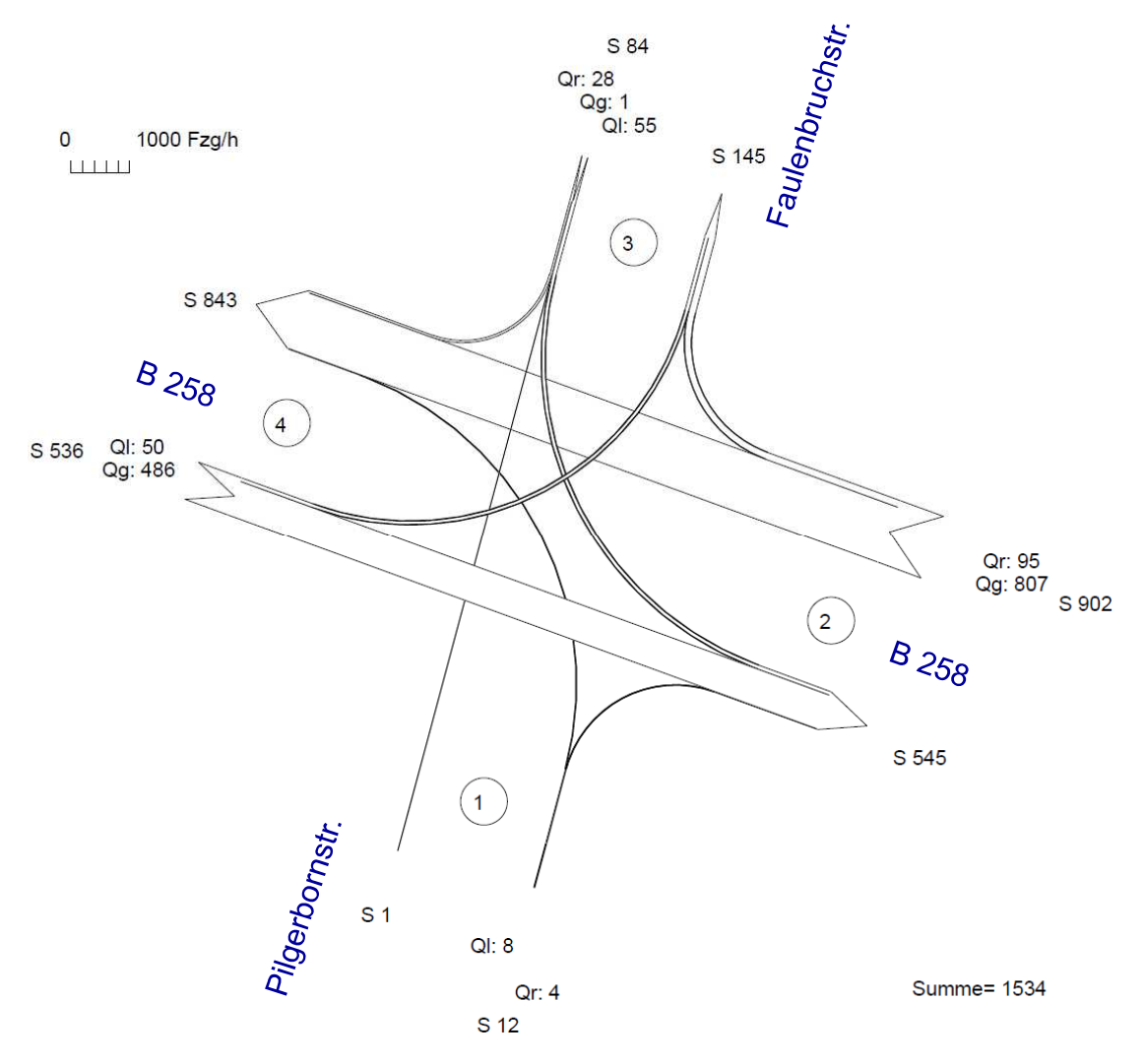


| | Kapazitäten der Einzelströme | | | | | | | | | | | | |
|---------|------------------------------|-----------------------------|------------------|-----------------------|------------|---------------------|------------|------------------------------------|--|--|--|--|--|
| | | Hauptströme | Grundkap. | Abminderungs- | Kapazität | Auslastungs- | staufreier | staufreier | | | | | |
| Zufahrt | Strom | $q_{\mathbf{p},\mathbf{i}}$ | $G_{\mathbf{i}}$ | faktor f _f | $C_{PE,i}$ | grad x _i | Zustand | Zustand | | | | | |
| | (Rang) | [Fz/h] | [Pkw-E/h] | [-] | [Pkw-E/h] | [-] | p_0 | p _x bzw. p _z | | | | | |
| | 1 (2) | 654 | 610 | 1,000 | 610 | 0,000 | 1,000 | 0,990 | | | | | |
| Α | 2 (1) | | 1800 | 1,000 | 1800 | 0,592 | 1,000 | | | | | | |
| | 3 (1) | 0 | 1600 | 1,000 | 1600 | 0,003 | 1,000 | | | | | | |
| | 4 (4) | 1734 | 106 | 1,000 | 102 | 0,029 | | | | | | | |
| В | 5 (3) | 1718 | 98 | 1,000 | 97 | 0,000 | 1,000 | 0,990 | | | | | |
| | 6 (2) | 1060 | 328 | 1,000 | 328 | 0,012 | 0,988 | | | | | | |
| | 7 (2) | 1062 | 384 | 1,000 | 384 | 0,010 | 0,990 | 0,990 | | | | | |
| С | 8 (1) | | 1800 | 1,000 | 1800 | 0,368 | 1,000 | | | | | | |
| | 9 (1) | 0 | 1600 | 1,000 | 1600 | 0,001 | 1,000 | | | | | | |
| | 10 (4) | 1721 | 108 | 1,000 | 106 | 0,028 | | | | | | | |
| D | 11 (3) | 1719 | 98 | 1,000 | 97 | 0,000 | 1,000 | 0,990 | | | | | |
| | 12 (2) | 653 | 540 | 1,000 | 540 | 0,031 | 0,969 | | | | | | |

| | | | Qualitä | t der Ein: | zel- und | Mischstr | öme | | |
|---------|-------|------------|------------|------------|-----------|---------------------|------------------------|-------------|------------|
| | | Fahrzeuge | Faktoren | Kapazität | Kapazität | Auslastungs- | Kapazitäts- | mittlere | Qualitäts- |
| Zufahrt | Strom | $q_{Fz,i}$ | $f_{PE,i}$ | $C_{PE,i}$ | C_i | grad x _i | reserve R _i | Wartezeit w | stufe |
| | | [Fz/h] | [-] | [Pkw-E/h] | [Fz/h] | [-] | [Fz/h] | [s] | QSV |
| | 1 | | | | | | | | |
| Α | 2 | 1058 | 1,008 | 1800 | 1786 | 0,592 | 728 | 0,0 | Α |
| | 3 | 4 | 1,000 | 1600 | 1600 | 0,003 | 1596 | 0,0 | Α |
| | 4 | 3 | 1,000 | 102 | 102 | 0,029 | 99 | 36,4 | D |
| В | 5 | | | | | | | | |
| | 6 | 4 | 1,000 | 328 | 328 | 0,012 | 324 | 11,1 | В |
| | 7 | 4 | 1,000 | 384 | 384 | 0,010 | 380 | 9,5 | Α |
| С | 8 | 652 | 1,016 | 1800 | 1771 | 0,368 | 1119 | 0,0 | Α |
| | 9 | 2 | 1,000 | 1600 | 1600 | 0,001 | 1598 | 0,0 | Α |
| | 10 | 3 | 1,000 | 106 | 106 | 0,028 | 103 | 35,1 | D |
| D | 11 | | | | | | | | |
| | 12 | 17 | 1,000 | 540 | 540 | 0,031 | 523 | 6,9 | Α |



B 258 / Faulenbruchstraße **Vormittagsspitzenstunde**





B 258 / Faulenbruchstraße **Vormittagsspitzenstunde**



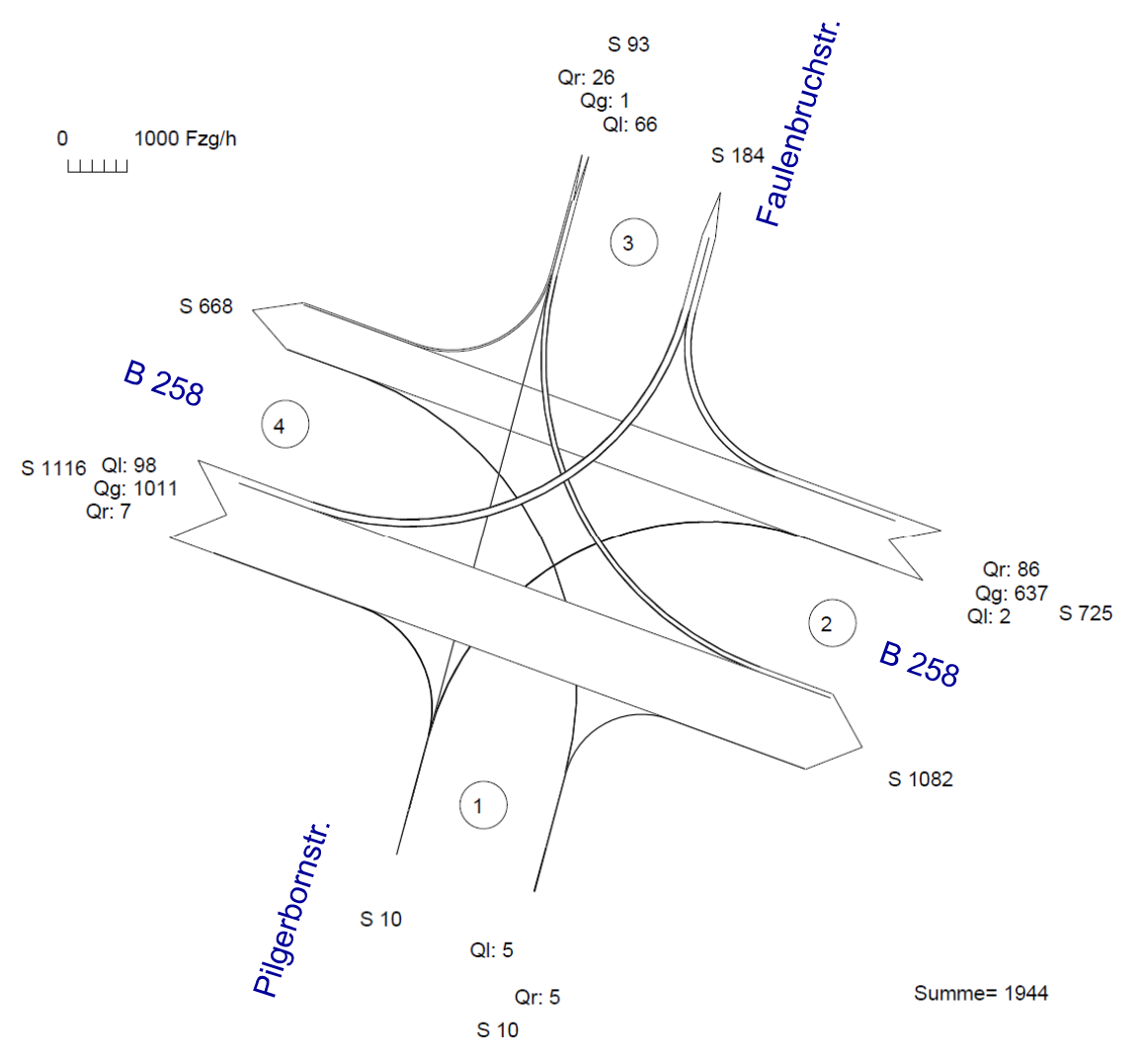
| | | | Kapazit | täten der | Einzelst | röme | | |
|---------|--------|-----------------------------|------------------|-----------------------|------------|---------------------|------------|---|
| | | Hauptströme | Grundkap. | Abminderungs- | Kapazität | Auslastungs- | staufreier | staufreier |
| Zufahrt | Strom | $q_{\mathbf{p},\mathbf{i}}$ | $G_{\mathbf{i}}$ | faktor f _f | $C_{PE,i}$ | grad x _i | Zustand | Zustand |
| | (Rang) | [Fz/h] | [Pkw-E/h] | [-] | [Pkw-E/h] | [-] | p_0 | p _x b z w. p _z |
| | 1 (2) | 902 | 460 | 1,000 | 460 | 0,112 | 0,888 | 0,888 |
| Α | 2 (1) | | 1800 | 1,000 | 1800 | 0,277 | 1,000 | |
| | 3 (1) | 0 | 1600 | 1,000 | 1600 | 0,000 | 1,000 | |
| | 4 (4) | 1421 | 163 | 1,000 | 134 | 0,060 | | |
| В | 5 (3) | 1438 | 145 | 1,000 | 129 | 0,000 | 1,000 | 0,888 |
| | 6 (2) | 486 | 663 | 1,000 | 663 | 0,006 | 0,994 | |
| | 7 (2) | 486 | 739 | 1,000 | 739 | 0,000 | 1,000 | 0,888 |
| С | 8 (1) | | 1800 | 1,000 | 1800 | 0,455 | 1,000 | |
| | 9 (1) | 0 | 1600 | 1,000 | 1600 | 0,060 | 1,000 | |
| | 10 (4) | 1395 | 169 | 1,000 | 149 | 0,363 | | |
| D | 11 (3) | 1391 | 155 | 1,000 | 138 | 0,007 | 0,993 | 0,883 |
| | 12 (2) | 855 | 422 | 1,000 | 422 | 0,070 | 0,930 | |

| | Qualität der Einzel- und Mischströme | | | | | | | | | | | |
|---------|--------------------------------------|------------|------------|------------|-----------|---------------------|------------------------|-------------|------------|--|--|--|
| | | Fahrzeuge | Faktoren | Kapazität | Kapazität | Auslastungs- | Kapazitäts- | mittlere | Qualitäts- | | | |
| Zufahrt | Strom | $q_{Fz,i}$ | $f_{PE,i}$ | $C_{PE,i}$ | Ci | grad x _i | reserve R _i | Wartezeit w | stufe | | | |
| | | [Fz/h] | [-] | [Pkw-E/h] | [Fz/h] | [-] | [Fz/h] | [s] | QSV | | | |
| | 1 | 50 | 1,028 | 460 | 448 | 0,112 | 398 | 9,1 | Α | | | |
| Α | 2 | 486 | 1,026 | 1800 | 1755 | 0,277 | 1269 | 0,0 | Α | | | |
| | 3 | | | | | | | | | | | |
| | 4 | 8 | 1,000 | 134 | 134 | 0,060 | 126 | 28,7 | С | | | |
| В | 5 | | | | | | | | | | | |
| | 6 | 4 | 1,000 | 663 | 663 | 0,006 | 659 | 5,5 | Α | | | |
| | 7 | | | | | | | | | | | |
| С | 8 | 807 | 1,016 | 1800 | 1772 | 0,455 | 965 | 0,0 | Α | | | |
| | 9 | 95 | 1,015 | 1600 | 1577 | 0,060 | 1482 | 0,0 | Α | | | |
| | 10 | 54 | 1,000 | 149 | 149 | 0,363 | 95 | 37,8 | D | | | |
| D | 11 | 1 | 1,000 | 138 | 138 | 0,007 | 137 | 26,3 | С | | | |
| | 12 | 29 | 1,024 | 422 | 412 | 0,070 | 383 | 9,4 | Α | | | |



B 258 / Faulenbruchstraße

Nachmittagsspitzenstunde





B 258 / Faulenbruchstraße **Nachmittagsspitzenstunde**



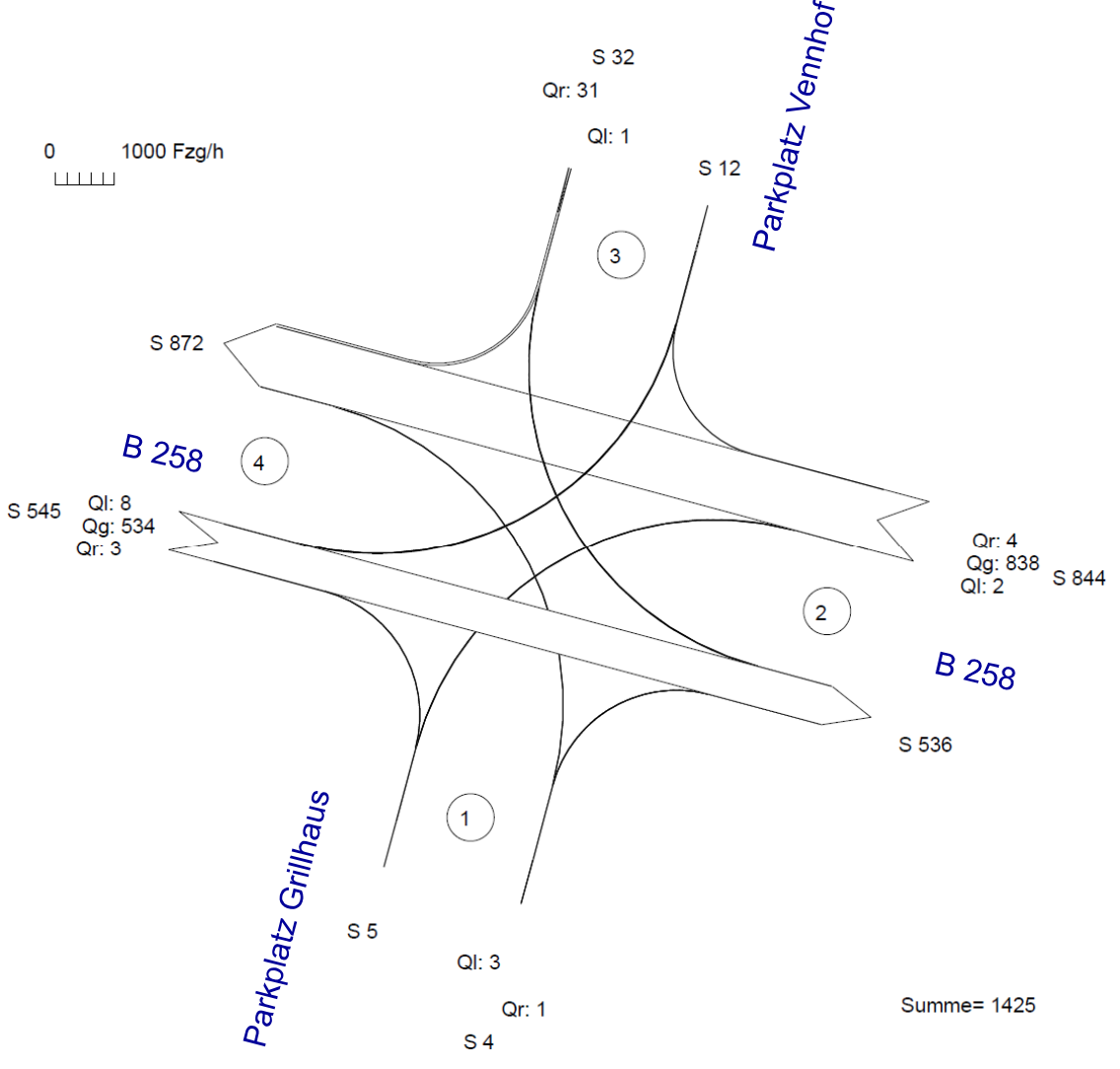
| | | | Kapazit | täten der | Einzelst | röme | | |
|---------|--------|-----------------------------|------------------|-----------------------|------------|---------------------|------------|------------------------------------|
| | | Hauptströme | Grundkap. | Abminderungs- | Kapazität | Auslastungs- | staufreier | staufreier |
| Zufahrt | Strom | $q_{\mathbf{p},\mathbf{i}}$ | $G_{\mathbf{i}}$ | faktor f _f | $C_{PE,i}$ | grad x _i | Zustand | Zustand |
| | (Rang) | [Fz/h] | [Pkw-E/h] | [-] | [Pkw-E/h] | [-] | p_0 | p _x bzw. p _z |
| | 1 (2) | 723 | 564 | 1,000 | 564 | 0,176 | 0,824 | 0,820 |
| Α | 2 (1) | | 1800 | 1,000 | 1800 | 0,566 | 1,000 | |
| | 3 (1) | 0 | 1600 | 1,000 | 1600 | 0,004 | 1,000 | |
| | 4 (4) | 1822 | 94 | 1,000 | 73 | 0,069 | | |
| В | 5 (3) | 1838 | 83 | 1,000 | 68 | 0,000 | 1,000 | 0,820 |
| | 6 (2) | 1015 | 347 | 1,000 | 347 | 0,014 | 0,986 | |
| | 7 (2) | 1018 | 403 | 1,000 | 403 | 0,005 | 0,995 | 0,820 |
| С | 8 (1) | | 1800 | 1,000 | 1800 | 0,360 | 1,000 | |
| | 9 (1) | 0 | 1600 | 1,000 | 1600 | 0,055 | 1,000 | |
| | 10 (4) | 1800 | 97 | 1,000 | 78 | 0,850 | | |
| D | 11 (3) | 1798 | 88 | 1,000 | 72 | 0,014 | 0,986 | 0,810 |
| | 12 (2) | 680 | 523 | 1,000 | 523 | 0,050 | 0,950 | |

| | | | Qualitä | t der Ein: | zel- und | Mischstr | öme | | |
|---------|-------|------------|------------|------------|-----------|---------------------|------------------------|-------------|------------|
| | | Fahrzeuge | Faktoren | Kapazität | Kapazität | Auslastungs- | Kapazitäts- | mittlere | Qualitäts- |
| Zufahrt | Strom | $q_{Fz,i}$ | $f_{PE,i}$ | $C_{PE,i}$ | C_{i} | grad x _i | reserve R _i | Wartezeit w | stufe |
| | | [Fz/h] | [-] | [Pkw-E/h] | [Fz/h] | [-] | [Fz/h] | [s] | QSV |
| | 1 | 98 | 1,014 | 564 | 556 | 0,176 | 458 | 7,9 | Α |
| Α | 2 | 1011 | 1,008 | 1800 | 1785 | 0,566 | 774 | 0,0 | Α |
| | 3 | 7 | 1,000 | 1600 | 1600 | 0,004 | 1593 | 0,0 | Α |
| | 4 | 5 | 1,000 | 73 | 73 | 0,069 | 68 | 53,2 | E |
| В | 5 | | | | | | | | |
| | 6 | 5 | 1,000 | 347 | 347 | 0,014 | 342 | 10,5 | В |
| | 7 | 2 | 1,000 | 403 | 403 | 0,005 | 401 | 9,0 | Α |
| С | 8 | 637 | 1,018 | 1800 | 1769 | 0,360 | 1132 | 0,0 | Α |
| | 9 | 86 | 1,016 | 1600 | 1574 | 0,055 | 1488 | 0,0 | Α |
| | 10 | 66 | 1,011 | 78 | 78 | 0,850 | 12 | 209,8 | E |
| D | 11 | 1 | 1,000 | 72 | 72 | 0,014 | 71 | 50,8 | E |
| | 12 | 26 | 1,000 | 523 | 523 | 0,050 | 497 | 7,2 | Α |



B 258 / Zufahrt Parkplatz (Vennhof)

Vormittagsspitzenstunde





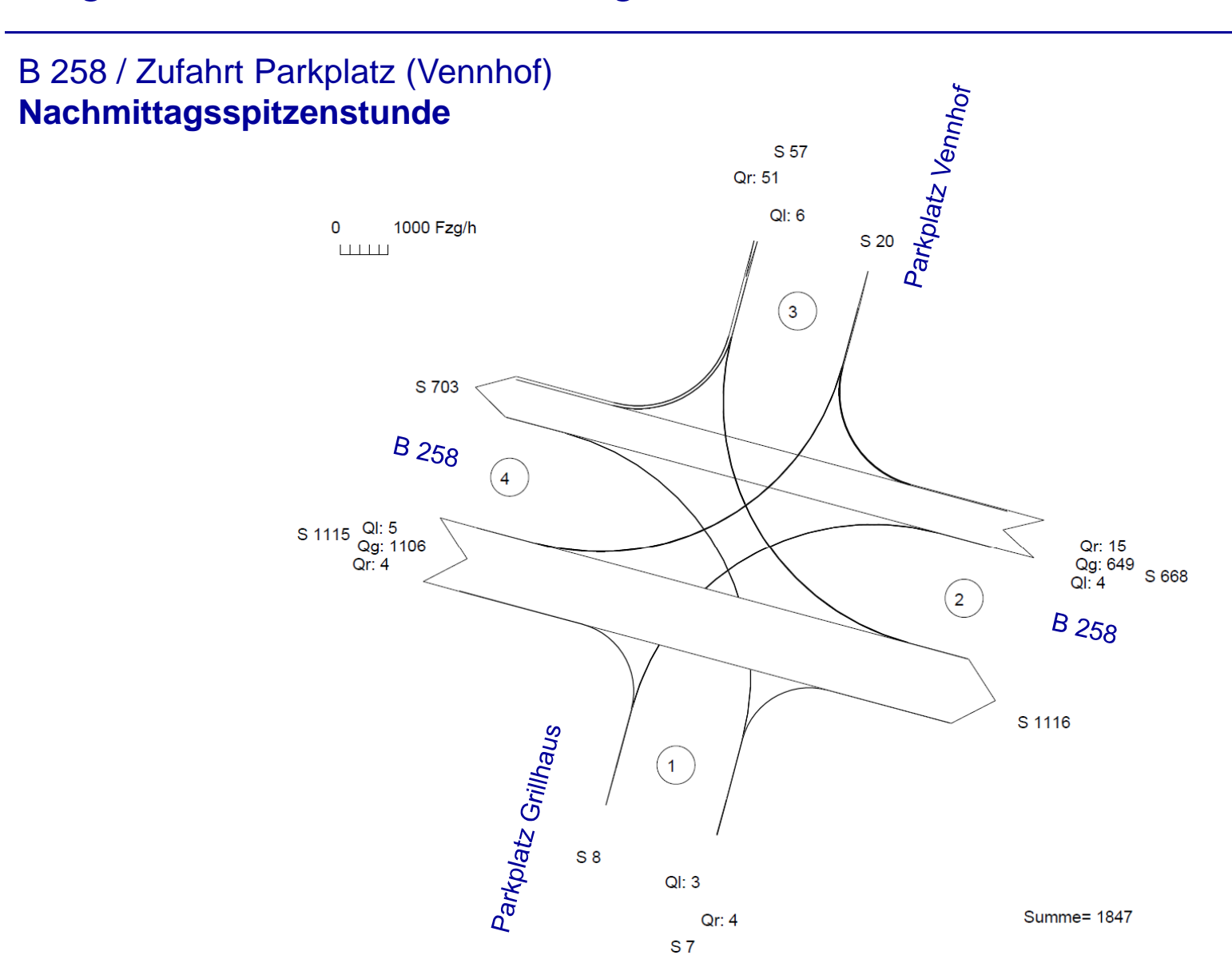
B 258 / Zufahrt Parkplatz (Vennhof) **Vormittagsspitzenstunde**



| | | | Kapazit | täten der | Einzelst | röme | | |
|---------|--------|-----------------------------|------------------|-----------------------|------------|---------------------|------------|---|
| | | Hauptströme | Grundkap. | Abminderungs- | Kapazität | Auslastungs- | staufreier | staufreier |
| Zufahrt | Strom | $q_{\mathbf{p},\mathbf{i}}$ | $G_{\mathbf{i}}$ | faktor f _f | $C_{PE,i}$ | grad x _i | Zustand | Zustand |
| | (Rang) | [Fz/h] | [Pkw-E/h] | [-] | [Pkw-E/h] | [-] | p_0 | p _x b z w. p _z |
| | 1 (2) | 842 | 493 | 1,000 | 493 | 0,016 | 0,984 | 0,981 |
| Α | 2 (1) | | 1800 | 1,000 | 1800 | 0,304 | 1,000 | |
| | 3 (1) | 0 | 1600 | 1,000 | 1600 | 0,002 | 1,000 | |
| | 4 (4) | 1417 | 164 | 1,000 | 149 | 0,020 | | |
| В | 5 (3) | 1388 | 156 | 1,000 | 153 | 0,000 | 1,000 | 0,981 |
| | 6 (2) | 536 | 624 | 1,000 | 624 | 0,002 | 0,998 | |
| | 7 (2) | 537 | 697 | 1,000 | 697 | 0,003 | 0,997 | 0,981 |
| С | 8 (1) | | 1800 | 1,000 | 1800 | 0,473 | 1,000 | |
| | 9 (1) | 0 | 1600 | 1,000 | 1600 | 0,003 | 1,000 | |
| | 10 (4) | 1387 | 170 | 1,000 | 167 | 0,006 | | |
| D | 11 (3) | 1387 | 156 | 1,000 | 153 | 0,000 | 1,000 | 0,981 |
| | 12 (2) | 840 | 430 | 1,000 | 430 | 0,074 | 0,926 | |

| | | | Qualitä | t der Ein: | zel- und | Mischstı | öme | | |
|---------|-------|------------|------------|------------|-----------|---------------------|------------------------|-------------|------------|
| | | Fahrzeuge | Faktoren | Kapazität | Kapazität | Auslastungs- | Kapazitäts- | mittlere | Qualitäts- |
| Zufahrt | Strom | $q_{Fz,i}$ | $f_{PE,i}$ | $C_{PE,i}$ | Ci | grad x _i | reserve R _i | Wartezeit w | stufe |
| | | [Fz/h] | [-] | [Pkw-E/h] | [Fz/h] | [-] | [Fz/h] | [s] | QSV |
| | 1 | 8 | 1,000 | 493 | 493 | 0,016 | 485 | 7,4 | Α |
| Α | 2 | 534 | 1,026 | 1800 | 1754 | 0,304 | 1220 | 0,0 | Α |
| | 3 | 3 | 1,000 | 1600 | 1600 | 0,002 | 1597 | 0,0 | Α |
| | 4 | 3 | 1,000 | 149 | 149 | 0,020 | 146 | 24,7 | С |
| В | 5 | | | | | | | | |
| | 6 | 1 | 1,000 | 624 | 624 | 0,002 | 623 | 5,8 | Α |
| | 7 | 2 | 1,000 | 697 | 697 | 0,003 | 695 | 5,2 | Α |
| С | 8 | 838 | 1,016 | 1800 | 1772 | 0,473 | 934 | 0,0 | Α |
| | 9 | 4 | 1,000 | 1600 | 1600 | 0,003 | 1596 | 0,0 | Α |
| | 10 | 1 | 1,000 | 167 | 167 | 0,006 | 166 | 21,7 | С |
| D | 11 | | | | | | | | |
| | 12 | 31 | 1,023 | 430 | 420 | 0,074 | 389 | 9,2 | Α |







B 258 / Zufahrt Parkplatz (Vennhof)



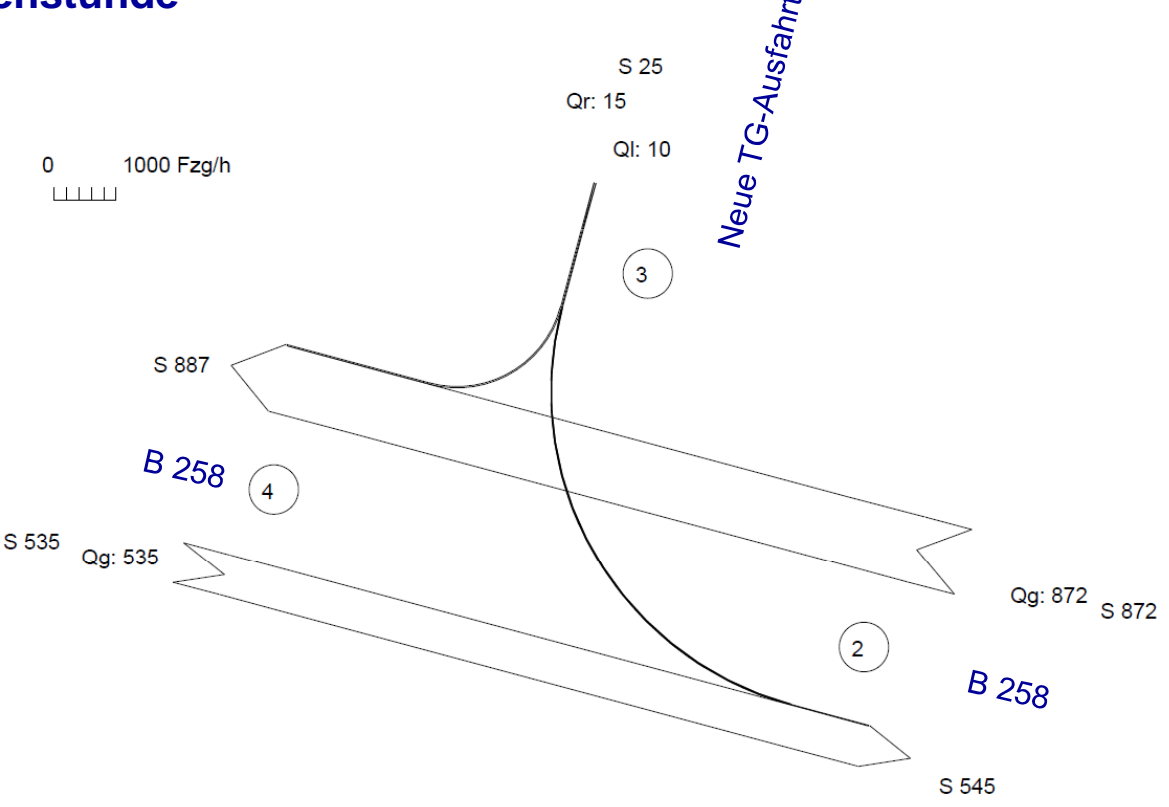


| | | | Kapazit | täten der | Einzelst | röme | | |
|---------|--------|-----------------------------|------------------|-----------------------|------------|---------------------|------------|------------------------------------|
| | | Hauptströme | Grundkap. | Abminderungs- | Kapazität | Auslastungs- | staufreier | staufreier |
| Zufahrt | Strom | $q_{\mathbf{p},\mathbf{i}}$ | $G_{\mathbf{i}}$ | faktor f _f | $C_{PE,i}$ | grad x _i | Zustand | Zustand |
| | (Rang) | [Fz/h] | [Pkw-E/h] | [-] | [Pkw-E/h] | [-] | p_0 | p _x bzw. p _z |
| | 1 (2) | 664 | 604 | 1,000 | 604 | 0,008 | 0,992 | 0,981 |
| Α | 2 (1) | | 1800 | 1,000 | 1800 | 0,620 | 1,000 | |
| | 3 (1) | 0 | 1600 | 1,000 | 1600 | 0,003 | 1,000 | |
| | 4 (4) | 1825 | 94 | 1,000 | 83 | 0,036 | | |
| В | 5 (3) | 1781 | 90 | 1,000 | 88 | 0,000 | 1,000 | 0,981 |
| | 6 (2) | 1108 | 310 | 1,000 | 310 | 0,013 | 0,987 | |
| | 7 (2) | 1110 | 363 | 1,000 | 363 | 0,011 | 0,989 | 0,981 |
| С | 8 (1) | | 1800 | 1,000 | 1800 | 0,366 | 1,000 | |
| | 9 (1) | 0 | 1600 | 1,000 | 1600 | 0,010 | 1,000 | |
| | 10 (4) | 1778 | 100 | 1,000 | 97 | 0,062 | | |
| D | 11 (3) | 1776 | 90 | 1,000 | 89 | 0,000 | 1,000 | 0,981 |
| | 12 (2) | 657 | 538 | 1,000 | 538 | 0,096 | 0,904 | |

| | Qualität der Einzel- und Mischströme | | | | | | | | | | | | |
|---------|--------------------------------------|------------|------------|------------|-----------|---------------------|------------------------|-------------|------------|--|--|--|--|
| | | Fahrzeuge | Faktoren | Kapazität | Kapazität | Auslastungs- | Kapazitäts- | mittlere | Qualitäts- | | | | |
| Zufahrt | Strom | $q_{Fz,i}$ | $f_{PE,i}$ | $C_{PE,i}$ | C_i | grad x _i | reserve R _i | Wartezeit w | stufe | | | | |
| | | [Fz/h] | [-] | [Pkw-E/h] | [Fz/h] | [-] | [Fz/h] | [s] | QSV | | | | |
| | 1 | 5 | 1,000 | 604 | 604 | 0,008 | 599 | 6,0 | Α | | | | |
| Α | 2 | 1106 | 1,009 | 1800 | 1784 | 0,620 | 678 | 0,0 | Α | | | | |
| | 3 | 4 | 1,000 | 1600 | 1600 | 0,003 | 1596 | 0,0 | Α | | | | |
| | 4 | 3 | 1,000 | 83 | 83 | 0,036 | 80 | 44,9 | D | | | | |
| В | 5 | | | | | | | | | | | | |
| | 6 | 4 | 1,000 | 310 | 310 | 0,013 | 306 | 11,8 | В | | | | |
| | 7 | 4 | 1,000 | 363 | 363 | 0,011 | 359 | 10,0 | В | | | | |
| С | 8 | 649 | 1,016 | 1800 | 1771 | 0,366 | 1122 | 0,0 | Α | | | | |
| | 9 | 15 | 1,047 | 1600 | 1529 | 0,010 | 1514 | 0,0 | Α | | | | |
| | 10 | 6 | 1,000 | 97 | 97 | 0,062 | 91 | 39,6 | D | | | | |
| D | 11 | | | | | | | | | | | | |
| | 12 | 51 | 1,014 | 538 | 531 | 0,096 | 480 | 7,5 | Α | | | | |



B 258 / Neue TG-Ausfahrt **Vormittagsspitzenstunde**

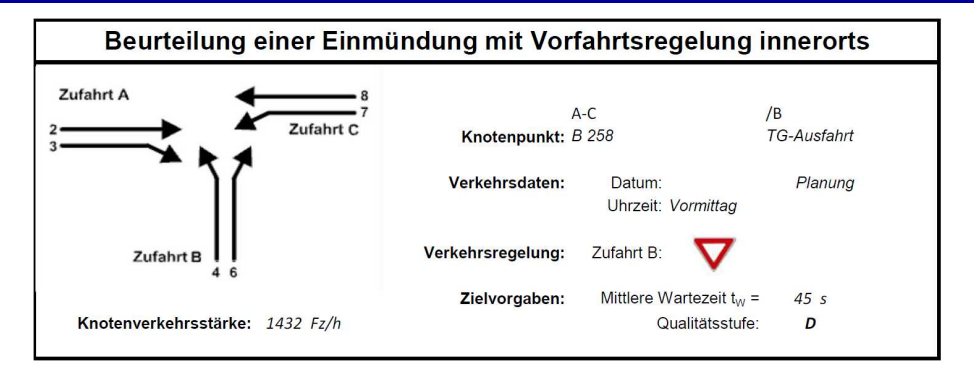


Summe= 1432



Prognose-Planfall – Leistungsfähigkeitsnachweis

B 258 / Neue TG-Ausfahrt **Vormittagsspitzenstunde**



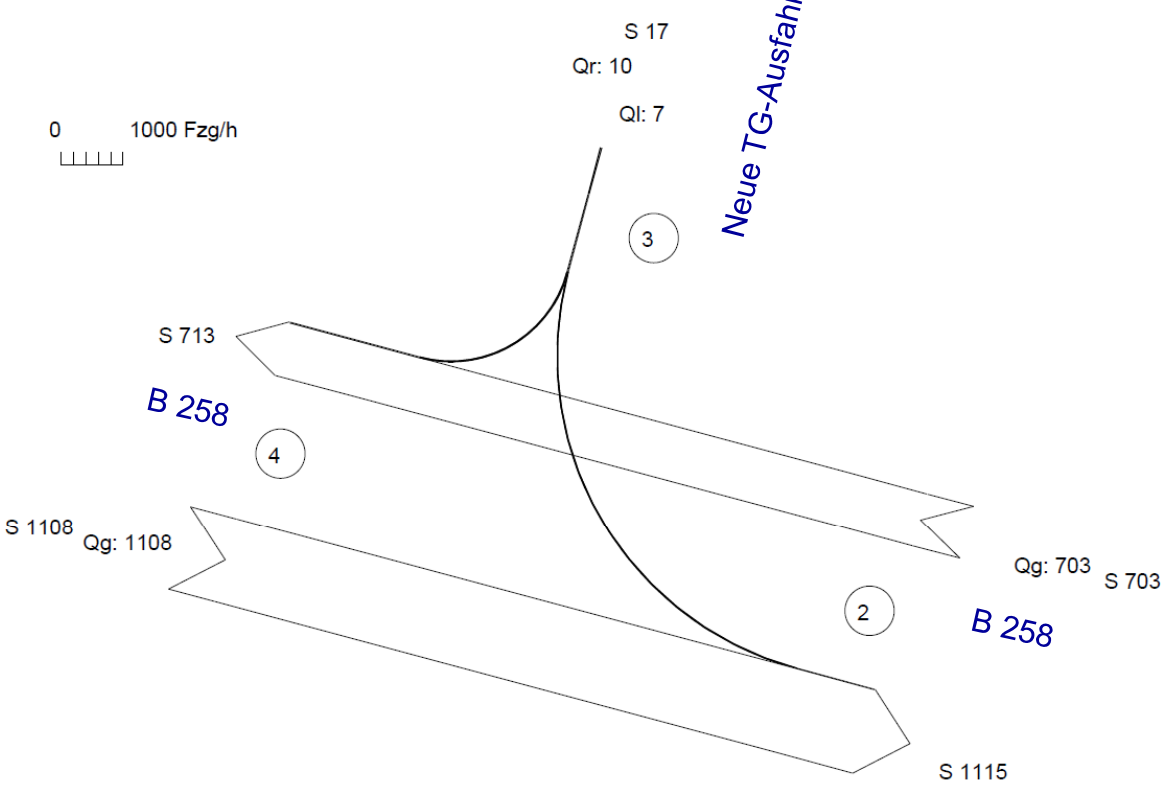
| | Kapazitäten der Einzelströme | | | | | | | | | | | |
|---------|------------------------------|-----------------------------|------------------|-----------------------|------------|---------------------|------------|--|--|--|--|--|
| | | Hauptströme | Grundkap. | Abminderungs- | Kapazität | Auslastungs- | staufreier | | | | | |
| Zufahrt | Strom | $q_{\mathbf{p},\mathbf{i}}$ | $G_{\mathbf{i}}$ | faktor f _f | $C_{PE,i}$ | grad x _i | Zustand | | | | | |
| | (Rang) | [Fz/h] | [Pkw-E/h] | [-] | [Pkw-E/h] | [-] | p_0 | | | | | |
| Α | 2 (1) | | 1800 | 1,000 | 1800 | 0,492 | | | | | | |
| _ A | 3 (1) | 0 | 1600 | 1,000 | 1600 | 0,000 | | | | | | |
| В | 4 (3) | 1407 | 166 | 1,000 | 166 | 0,060 | | | | | | |
| Ь | 6 (2) | 872 | 413 | 1,000 | 413 | 0,036 | | | | | | |
| С | 7 (2) | 872 | 476 | 1,000 | 476 | 0,000 | 1,000 | | | | | |
| C | 8 (1) | | 1800 | 1,000 | 1800 | 0,305 | | | | | | |

| | Qualität der Einzel- und Mischströme | | | | | | | | | | | |
|---------|--------------------------------------|------------|------------|------------|-----------|---------------------|------------------------|-------------|------------|--|--|--|
| | | Fahrzeuge | Faktoren | Kapazität | Kapazität | Auslastungs- | Kapazitäts- | mittlere | Qualitäts- | | | |
| Zufahrt | Strom | $q_{Fz,i}$ | $f_{PE,i}$ | $C_{PE,i}$ | C_i | grad x _i | reserve R _i | Wartezeit w | stufe | | | |
| | | [Fz/h] | [-] | [Pkw-E/h] | [Fz/h] | [-] | [Fz/h] | [s] | QSV | | | |
| Α | 2 | 872 | 1,016 | 1800 | 1772 | 0,492 | 900 | 0,0 | Α | | | |
| A | 3 | | | | | | | | | | | |
| В | 4 | 10 | 1,000 | 166 | 166 | 0,060 | 156 | 23,1 | C | | | |
| В | 6 | 15 | 1,000 | 413 | 413 | 0,036 | 398 | 9,0 | Α | | | |
| С | 7 | | | | | | | | | | | |
| Ŭ | 8 | 535 | 1,026 | 1800 | 1754 | 0,305 | 1219 | 0,0 | Α | | | |



B 258 / Zufahrt Parkplatz (Vennhof)



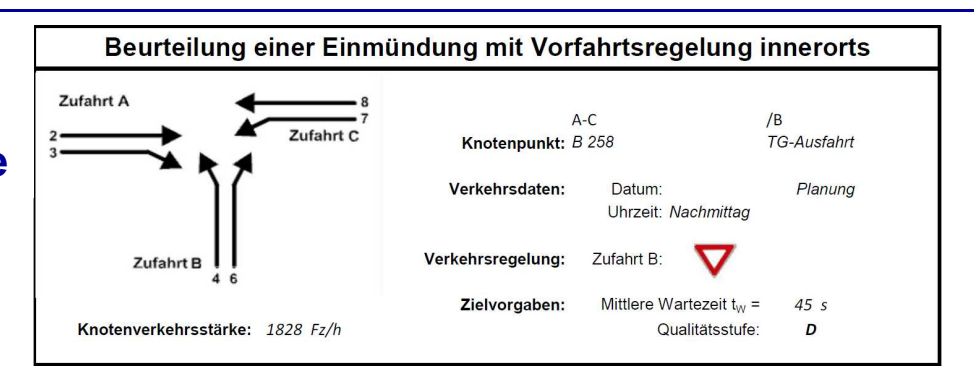


Summe= 1828



Prognose-Planfall – Leistungsfähigkeitsnachweis

B 258 / Zufahrt Parkplatz (Vennhof) Nachmittagsspitzenstunde



| | Kapazitäten der Einzelströme | | | | | | | | | | | |
|---------|------------------------------|-----------------------------|------------------|-----------------------|------------|--------------|------------|--|--|--|--|--|
| | | Hauptströme | Grundkap. | Abminderungs- | Kapazität | Auslastungs- | staufreier | | | | | |
| Zufahrt | Strom | $q_{\mathbf{p},\mathbf{i}}$ | $G_{\mathbf{i}}$ | faktor f _f | $C_{PE,i}$ | grad x_i | Zustand | | | | | |
| | (Rang) | [Fz/h] | [Pkw-E/h] | [-] | [Pkw-E/h] | [-] | p_0 | | | | | |
| Α | 2 (1) | | 1800 | 1,000 | 1800 | 0,397 | | | | | | |
| A | 3 (1) | 0 | 1600 | 1,000 | 1600 | 0,000 | | | | | | |
| В | 4 (3) | 1811 | 96 | 1,000 | 96 | 0,073 | | | | | | |
| Ь | 6 (2) | 703 | 508 | 1,000 | 508 | 0,020 | | | | | | |
| С | 7 (2) | 703 | 577 | 1,000 | 577 | 0,000 | 1,000 | | | | | |
| C | 8 (1) | | 1800 | 1,000 | 1800 | 0,621 | | | | | | |

| | Qualität der Einzel- und Mischströme | | | | | | | | | | | |
|---------|--------------------------------------|------------|------------|------------|-----------|---------------------|------------------------|-------------|------------|--|--|--|
| | | Fahrzeuge | Faktoren | Kapazität | Kapazität | Auslastungs- | Kapazitäts- | mittlere | Qualitäts- | | | |
| Zufahrt | Strom | $q_{Fz,i}$ | $f_{PE,i}$ | $C_{PE,i}$ | C_i | grad x _i | reserve R _i | Wartezeit w | stufe | | | |
| | | [Fz/h] | [-] | [Pkw-E/h] | [Fz/h] | [-] | [Fz/h] | [s] | QSV | | | |
| Α | 2 | 703 | 1,016 | 1800 | 1772 | 0,397 | 1069 | 0,0 | Α | | | |
| Α . | 3 | | | | | | | | | | | |
| В | 4 | 7 | 1,000 | 96 | 96 | 0,073 | 89 | 40,6 | D | | | |
| В | 6 | 10 | 1,000 | 508 | 508 | 0,020 | 498 | 7,2 | Α | | | |
| С | 7 | | | | | | | | | | | |
| Ü | 8 | 1108 | 1,009 | 1800 | 1784 | 0,621 | 676 | 0,0 | Α | | | |



